



PERÚ

Ministerio
del Ambiente



BOLETÍN HIDROCLIMÁTICO REGIONAL

MAYO – 2025

VOL. 5



DEPARTAMENTO LORETO

BOLETÍN HIDROCLIMÁTICO REGIONAL

Boletín del Servicio Nacional de Meteorología e Hidrología del Perú



AÑO 2025 - MAYO 2025

DIRECTORIO

Blga. Raquel Hilianova Soto Torres
Presidenta Ejecutiva del SENAMHI

Dr. Augusto Ovidio Ávila Callao
Gerente General

Ing. Marco Antonio Paredes Riveros.
Director Zonal 8

Las evaluaciones editadas en el Boletín presentan un resumen de las actividades que realizan en la Sede Dirección Zonal 8, en Loreto:

AREA TÉCNICA

Ing. Aníbal López Peña.
Ing. Jhonatan Junior Pérez Arévalo.
Ing. Jorge Walter Zvietcovich Díaz.
Ing. Francis Darbin Villacorta Rocha.
Ing. Jessica Estefany Panduro Ríos.
Ing. Erder Paul Hidalgo Apagüeño.
Ing. Gustavo Gamarra Ramírez.
Ing. Hernán Darío Gonzales Ferreira.
Lic. Jorge Antonio Kahn Rengifo.

El Boletín Hidroclimático se publica cada mes y es editado por el Área Técnica.

Direcciones de Consulta:

Unidad Funcional de Comunicaciones
comunicaciones@senamhi.gob.pe

Website
Email

www.senamhi.gob.pe
mparedes@senamhi.gob.pe

INDICE

PRESENTACIÓN

EVALUACIÓN METEOROLÓGICA

Comportamiento termopluiométrico
Estación Tamshiyacu
Estación Mazán
Estación San Roque
Estación Cabaloccocha
Estación Amazonas - Iquitos
Estación Contamana
Registro de valores extremos de temperaturas

EVALUACIÓN HIDROLÓGICA

Situación Hidrológica de los principales ríos Amazónicos:
Río Amazonas
Río Marañón
Río Ucayali
Río Napo
Río Nanay
Disponibilidad del recurso hídrico.

EVALUACIÓN DE CAUDALES

Caudales de descarga del río Amazonas Sector Tamshiyacu.
Tendencia Hidrológica del río Amazonas

EVALUACIÓN AGROMETEOROLÓGICA

Principales cultivos amazónicos en las provincias de:
Maynas
Loreto
Mariscal Ramón Castilla
Putumayo
Requena
Contamana
Alto Amazonas
Datem del Marañón

EVALUACIÓN AMBIENTAL

Monitoreo de polvo atmosférico
Vigilancia de la Radiación UV-B
Lanzamiento de RWS
Aerofotogrametría

PARTICIPACIÓN INSTITUCIONAL

Comités técnicos multisectoriales
Misceláneas



PRESENTACIÓN

EL SENAMHI presenta el Boletín Hidrometeorológico de Loreto, edición N° 5 correspondiente al mes de mayo 2025, con información actualizada del comportamiento de las variables meteorológicas, hidrológicas, agrometeorológicas y ambientales; y sus perspectivas para el periodo.

Contiene información sobre el comportamiento de las temperaturas y las condiciones de precipitación presentadas durante el mes de mayo 2025 en la región Loreto.

Se realiza un monitoreo del régimen de los principales ríos de nuestra amazonia; incluyendo además los estados fenológicos de los principales cultivos de la región por cuencas hidrográficas.

La situación ambiental se orienta a difundir sobre acontecimientos en nuestra región y de las coordinaciones y reuniones donde la Dirección Zonal 8 – SENAMHI, integra los grupos técnicos sobre calidad de aire, agua, residuos sólidos, biodiversidad, cambio climático etc., además de reuniones con el GOREL – Gerencia Regional Ambiental, autoridades provinciales y distritales, así como la participación en sub - comisiones interinstitucionales y capacitación.

EVALUACIÓN METEOROLÓGICA

COMPORTAMIENTO TERMOPLUVIOMÉTRICO

DESCRIPCIÓN:

En la tabla 1, muestra las condiciones climáticas ocurridas en mayo del 2025 en el ámbito de la región Loreto, durante este periodo no se registraron precipitaciones con anomalías negativas (déficits de lluvias)

La temperatura máxima promedio presentó valores superiores a la temperatura normal en las estaciones ubicadas en San Roque sector de San Juan Bautista, Caballococha, San Regis, Requena, Iquitos y Contamana.

En cuanto a la temperatura media mínima mensual registró valores normales en las estaciones

Los valores de las temperaturas máximas y mínimas absolutas, así como la fecha de ocurrencia se indican a continuación.

Tabla 1. Temperaturas máximas y mínimas absolutas.

Estación	Temperatura Máxima Absoluta	fecha de ocurrencia	Temperatura Mínima Absoluta	fecha de ocurrencia
Caballococha	33.8	10-may	21.0	31-may
San Roque	34.2	08-may	21.2	31-may
San Regis	34.4	08-may	21.2	18-may
Requena	34.2	07-may	19.2	30-may
Iquitos	34.2	08-may	22.0	30-may
Contamana	35.6	16-may	13.5	30-may

Tabla 2. Anomalías de temperaturas extremas y precipitaciones registradas en algunas estaciones durante el mes de mayo 2025.

Estación Meteorológica	Ubicación Geográfica	Temperatura				Precipitación			
		Máx. Mensual °C	Anomal. (T.Máx.) °C	Mín Mensual °C	Anomal. (T.Min.) °C	Acumul. Mes (mm)	Anomal. (%)	Máx. Precipit. 24 h/día (mm)	Acumul. período lluvioso Set-24Ago-25(mm)
SAN REGIS	Río Marañon	34.4	-1.8	22.6	1.3	341.0	44.7	49.5	2,556.2
San Roque	Río Amazonas	34.2	-1.5	22.0	0.3	307.5	29.9	49.1	2,105.7
Caballococha	Río Amazonas	33.8	-1.3	22.6	0.5	198.1	-16.4	57.9	2,405.5
Iquitos	Río Amazonas	34.2	-1.5	23.0	0.9	350.7	48.2	44.1	2,485.6
Contamana	Río Ucayali	35.6	-1.4	19.5	0.0	221.6	46.8	48.6	1,401.0

COMPORTAMIENTO TERMOPLUVIOMÉTRICO

En el departamento de Loreto durante el mes de mayo 2025, se presentaron las temperaturas máximas, mínimas y los registros de lluvia como se detallan en la tabla 3 y gráficos del 1 al 6.

Tabla 3: Datos termoplumiométrico registrados en las estaciones en Loreto, mayo 2025.

DÍA	CABALLOCOCHA			SAN ROQUE			SAN REGIS			REQUEVA			IQUITOS			CONTAMANA		
	T. MÁX.	T. MÍN.	PP	T. MÁX.	T. MÍN.	PP	T. MÁX.	T. MÍN.	PP	T. MÁX.	T. MÍN.	PP	T. MÁX.	T. MÍN.	PP	T. MÁX.	T. MÍN.	PP
1	33.2	23.6	0.0	33.4	22.8	0.0	30.6	23.4	20.2	32.2	23.2	0.0	33.4	23.6	0.3	29.0	20.2	11.3
2	30.4	23.2	0.0	29.0	22.2	4.8	30.8	22.8	5.6	31.4	23.4	0.0	29.0	23.8	5.0	33.1	19.6	0.0
3	32.8	23.0	0.0	32.8	24.2	0.0	32.8	23.6	6.2	31.4	24.2	29.6	32.8	24.0	0.7	29.3	21.0	5.2
4	31.8	23.6	0.0	26.6	22.4	28.2	28.2	23.8	41.6	28.4	24.0	31.1	26.6	23.6	41.3	32.2	19.8	0.7
5	33.2	24.0	0.0	31.6	22.0	0.4	31.0	22.6	4.3	32.2	22.4	6.0	31.6	23.2	0.1	29.1	21.0	67.1
6	32.0	24.6	1.8	33.4	22.8	0.0	32.4	23.2	0.0	33.0	22.6	0.0	33.4	23.8	0.0	32.6	19.5	0.0
7	32.6	24.2	0.0	33.2	24.0	0.0	34.0	23.0	5.0	34.2	22.8	4.4	33.2	24.6	0.0	34.5	20.0	0.0
8	33.6	24.0	3.1	34.2	23.6	0.0	34.4	23.0	0.0	34.0	23.0	0.0	34.2	24.4	0.0	35.6	20.8	0.0
9	33.4	23.8	0.0	34.0	23.2	1.4	32.8	22.8	30.0	32.4	22.8	2.1	34.0	25.0	4.7	34.6	22.2	0.0
10	33.8	24.2	3.4	32.6	23.4	0.0	32.6	23.6	18.7	33.8	23.4	12.8	32.6	24.4	4.0	34.6	21.6	3.4
11	33.2	24.0	0.0	32.2	23.2	24.1	31.8	23.8	9.5	32.6	23.6	3.5	32.2	25.0	11.6	28.1	20.6	12.4
12	31.4	23.6	3.6	31.2	22.4	49.1	30.2	22.8	0.0	31.2	23.6	0.0	31.2	24.4	44.1	31.8	20.0	0.0
13	30.2	24.2	25.6	31.4	22.6	0.0	31.2	23.8	10.3	31.2	23.2	1.8	31.4	23.8	8.4	32.0	19.6	0.0
14	29.4	23.2	0.0	31.4	23.0	17.8	30.2	23.6	0.0	28.8	23.6	5.2	31.4	23.0	21.3	32.5	19.8	0.0
15	29.6	23.8	4.6	32.2	22.8	10.4	30.8	24.0	5.1	29.8	24.0	14.9	32.2	23.6	24.2	32.8	19.7	0.0
16	31.2	24.2	2.4	29.8	23.0	3.8	30.0	23.6	33.9	30.6	23.4	9.6	29.8	24.0	7.2	30.6	21.0	0.0
17	29.4	23.4	0.0	31.8	23.2	0.0	31.2	23.4	0.0	32.0	23.6	0.0	31.8	24.2	0.0	33.4	19.8	0.0
18	32.8	24.2	0.0	34.0	24.2	0.0	32.4	23.4	0.3	33.4	23.6	2.5	34.0	25.2	0.0	34.6	20.6	0.0
19	32.2	24.4	19.7	33.8	22.6	0.6	32.0	23.4	49.5	32.2	24.6	46.0	33.8	24.4	0.8	32.4	21.5	0.0
20	33.2	23.6	5.6	33.8	23.4	0.0	31.0	23.0	0.0	32.0	23.2	0.0	33.8	24.0	1.7	33.2	20.5	7.5
21	31.6	24.0	15.1	30.6	24.0	2.2	32.0	23.6	4.7	31.0	23.6	47.0	30.6	24.6	2.5	27.8	20.0	5.5
22	32.4	23.2	25.4	31.2	22.8	0.0	32.2	24.2	19.6	31.0	23.4	0.0	31.2	24.6	7.8	31.1	20.0	0.0
23	29.8	22.6	4.8	29.8	23.2	6.4	30.8	24.2	30.5	30.6	24.4	50.2	29.8	24.0	11.5	30.8	20.6	22.4
24	30.4	22.8	2.4	30.6	23.0	21.3	31.6	23.8	0.0	31.8	23.4	0.0	30.6	23.8	12.3	32.8	19.6	0.0
25	31.8	23.6	0.0	31.0	22.8	0.9	30.0	23.8	16.8	29.4	24.0	0.0	31.0	24.0	3.0	32.5	20.6	0.0
26	27.4	24.2	57.9	31.2	22.6	35.6	32.0	23.4	12.7	31.2	24.2	0.0	31.2	24.0	44.0	31.0	21.2	15.7
27	32.8	22.6	0.0	32.4	23.4	2.5	32.2	23.4	0.0	31.6	23.8	4.8	32.4	24.4	0.6	31.3	20.4	0.0
28	33.4	23.6	11.4	33.2	23.0	26.8	32.4	24.0	0.0	31.8	24.2	6.6	33.2	24.6	17.3	31.2	20.3	9.9
29	32.2	23.2	11.3	30.4	22.4	62.1	31.0	23.8	16.5	29.6	23.8	16.3	30.4	24.0	76.0	27.8	20.7	20.3
30	27.4	22.4	0.0	25.6	21.6	9.1	27.8	20.4	0.0	25.0	19.2	0.0	25.6	22.0	0.3	26.6	13.5	0.0
31	27.4	21.0	0.0	26.4	21.2	0.0	28.4	21.2	0.0	25.4	19.4	0.0	26.4	20.4	0.0	25.5	16.8	0.0
FROM	31.5	23.5	6.4	31.4	22.9	9.9	31.3	23.3	11.0	31.1	23.3	9.5	31.4	23.9	11.3	31.4	20.1	5.9
NORM	32.8	23.0	237.1	32.9	22.6	236.8	33.1	22.0	235.7	32.3	21.9	192.4	32.9	23.0	236.6	32.8	20.1	151.0
TOTAL			198.1			307.5			341.0			294.4			350.7			181.4

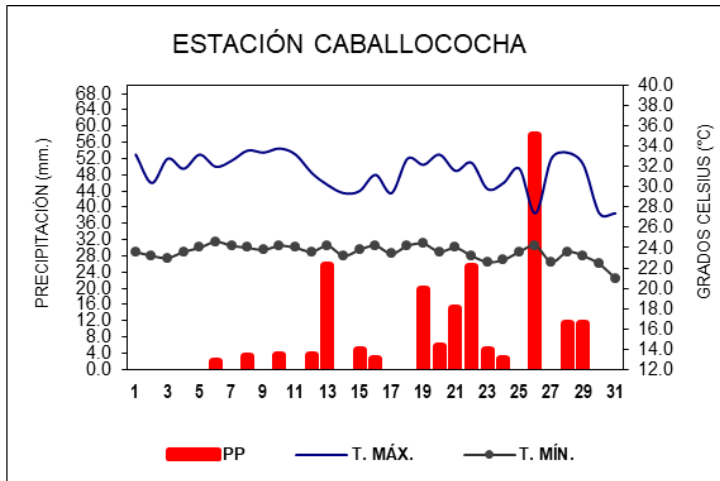


Gráfico 1. Termoplumiometría de la estación CO-Caballococha.

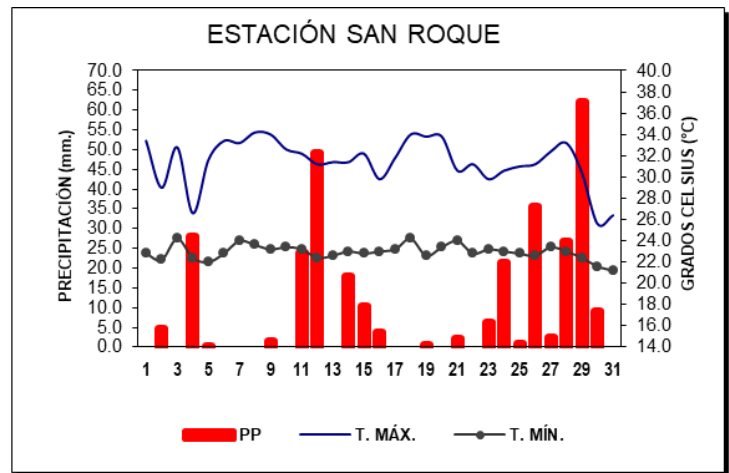


Gráfico 2. Termoplumiometría de la estación CO-San Roque.

DIRECCIÓN ZONAL 8 - LORETO

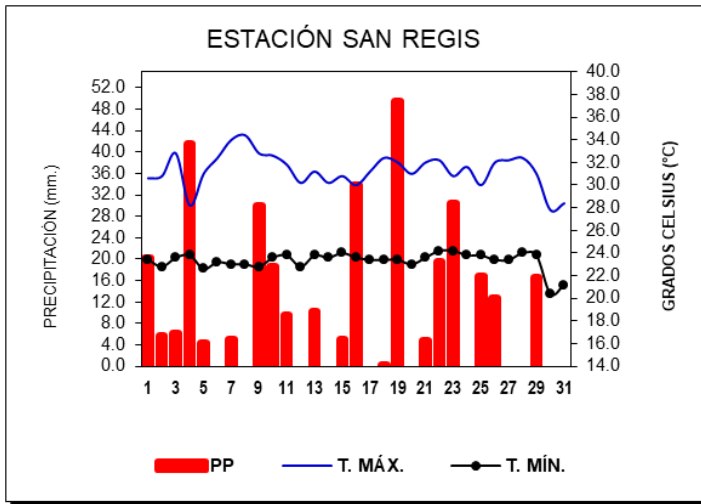


Gráfico 3. Termopluviometría de la estación PE-San Regis.

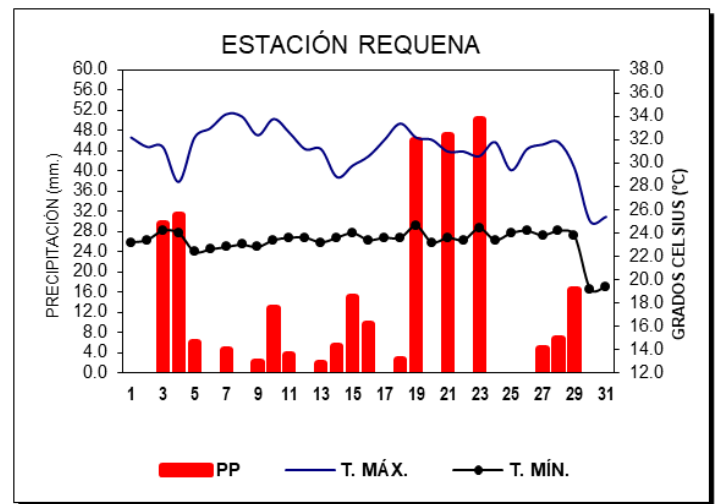


Gráfico 4. Termopluviometría de la estación CO-Requena.

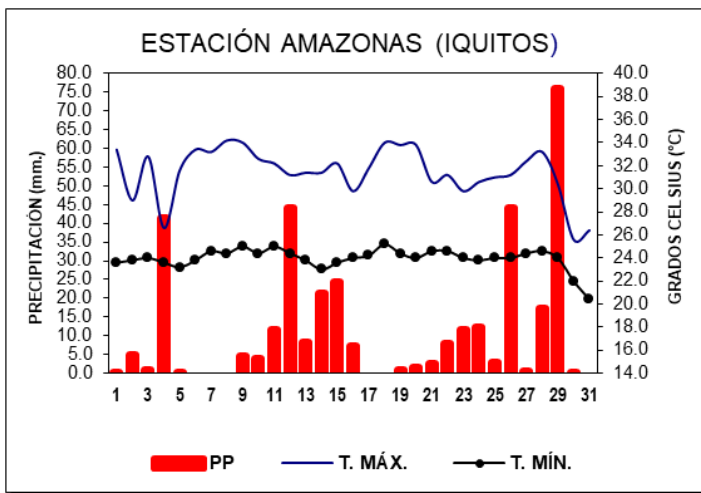


Gráfico 5. Termopluviometría de la estación CO-Amazonas.

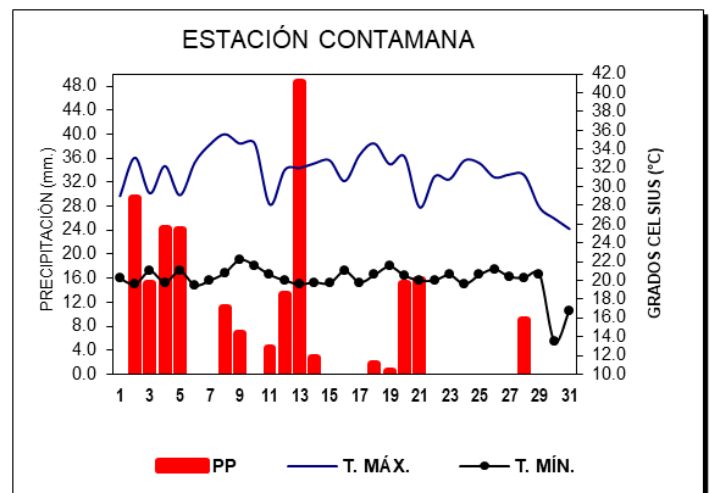


Gráfico 6. Termopluviometría de la estación CO-Contamana.

COMPORTAMIENTO TÉRMOPLUVIOMÉTRICO

VALORES EXTREMOS DE TEMPERATURAS

Para el mes de mayo del 2025, las temperaturas pronosticadas estarán con valores superiores a sus condiciones normales en gran parte de la región.

Tabla 4. Temperaturas más extremas en las ciudades, mayo 2025

ESTACIONES	TEMPERATURAS EXTREMAS	
	T. MÁX. (°C)	T. MÍN. (°C)
San Roque	35	22.2
Requena	34.6	23
San Regis	33.6	22.2
Caballococha	34.6	22.6
Pebas	33.4	21.6
Mazán	33	22.4
Amazonas	35	22.8
Contamana	35.4	18.7

El gráfico 7, muestra los valores pronosticados de las temperaturas máximas y mínimas para las principales ciudades del departamento de Loreto en el mes abril del 2025.

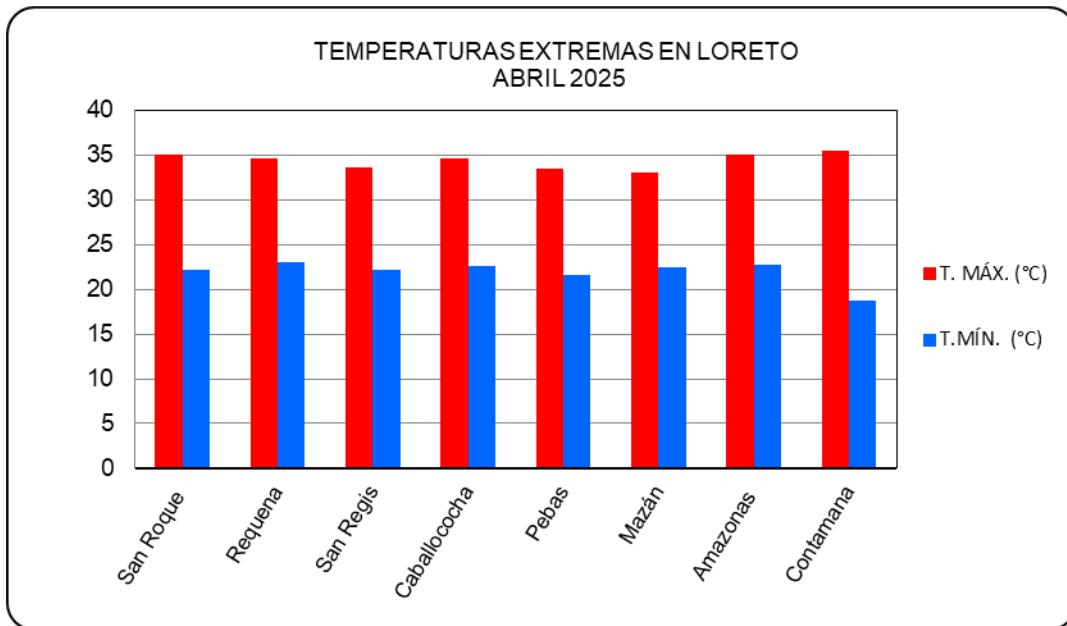


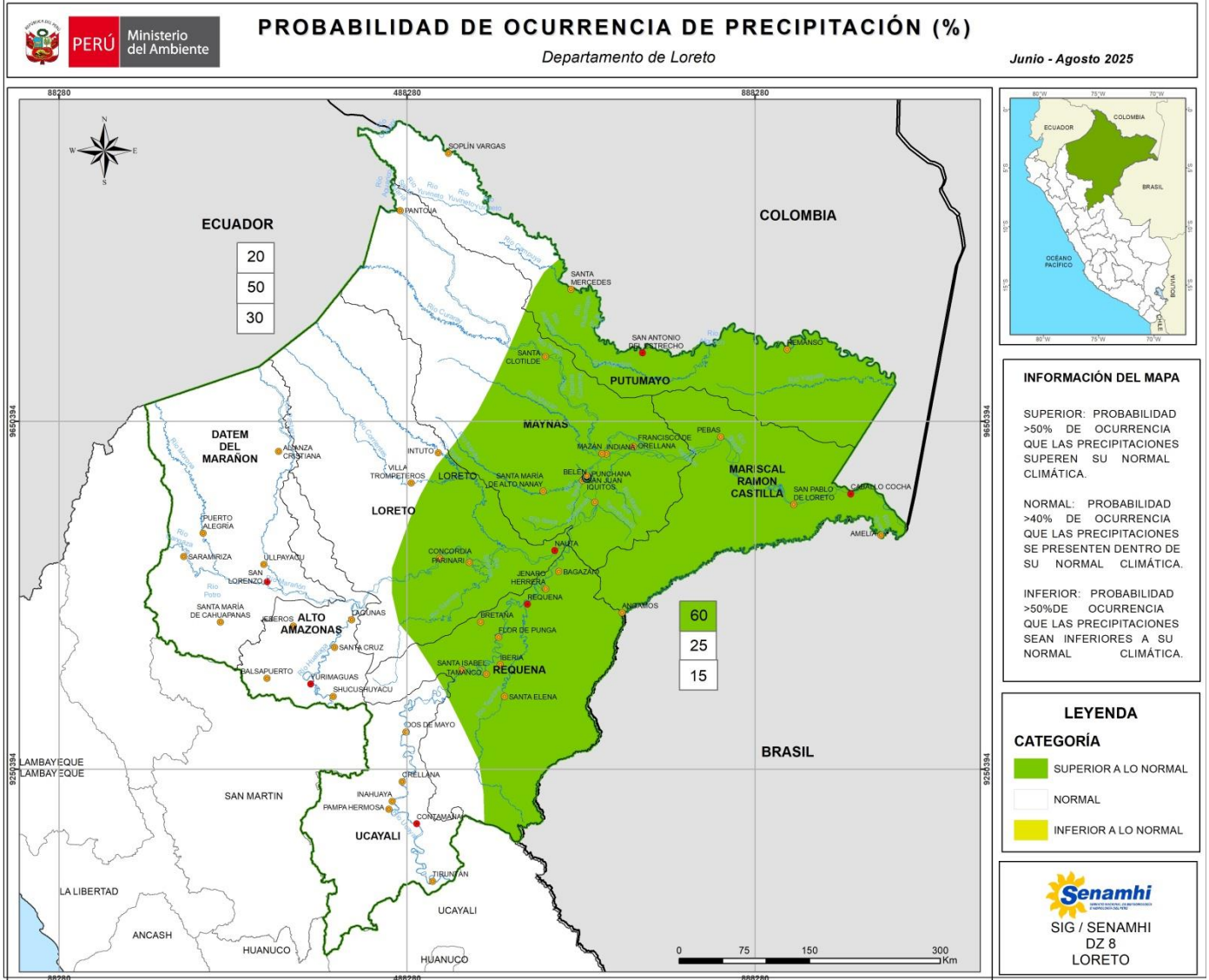
Gráfico 7. Temperaturas extremas en Loreto.

PRONÓSTICOS CLIMÁTICOS

PRONÓSTICO DE PRECIPITACIÓN

Para el trimestre (Junio - Agosto 2025), se prevé que, en gran parte del territorio del departamento de Loreto estarán en rangos normales "color blanco" y el resto del departamento por la parte este estará en condiciones superior a su normal "color verde". (Parte este y centro)

NOTA. - Estos pronósticos no estiman los valores extremos diarios, sino son la representación de los valores promedios de los próximos tres mese

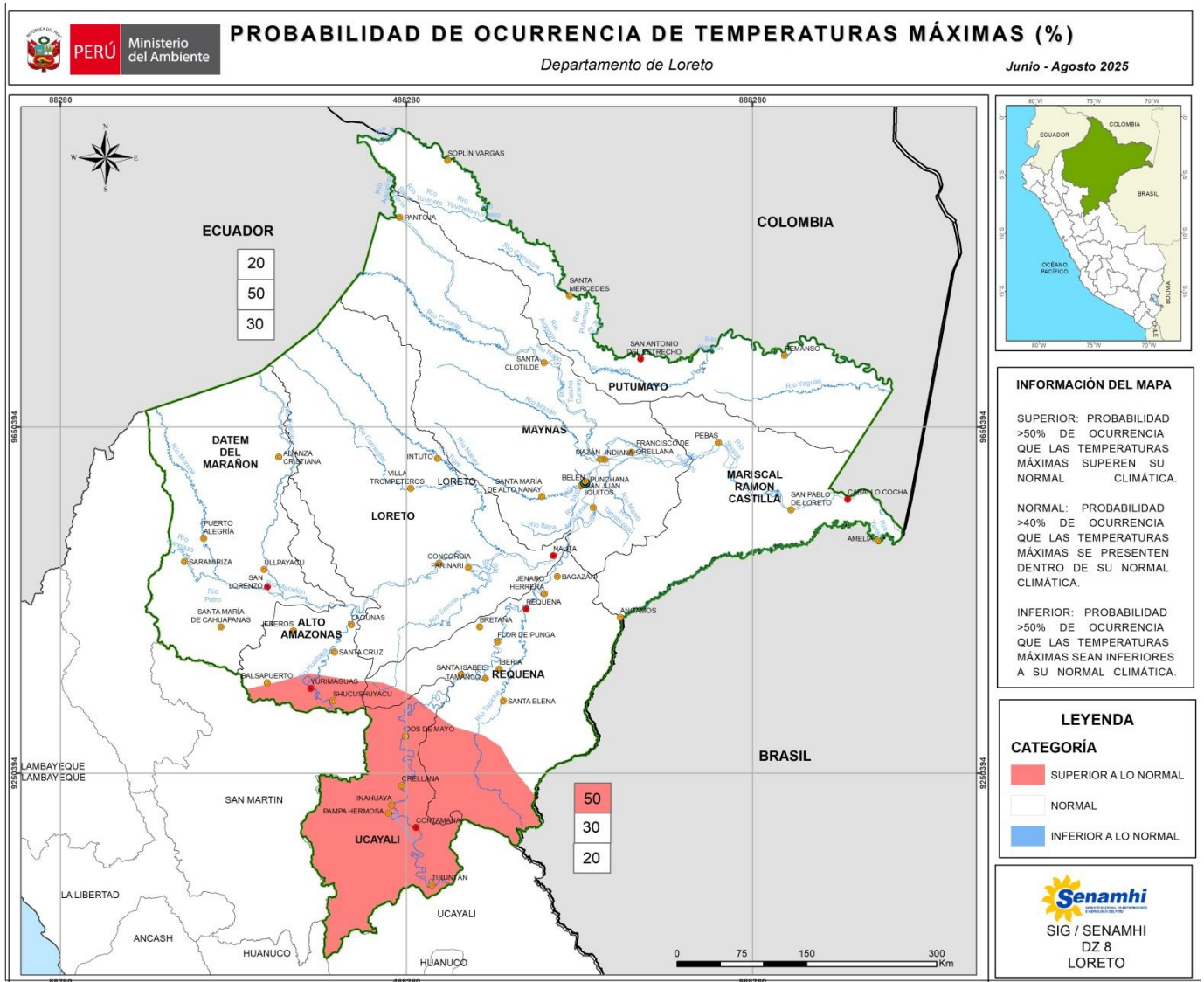


Mapa 1. Probabilidad de ocurrencia de precipitación para el trimestre (Junio - Agosto 2025).

PRONÓSTICO DE TEMPERATURAS MÁXIMAS

Para el trimestre (Junio - Agosto 2025), se prevé que, por la parte Sur (Provincias de Ucayali y Alto Amazonas), las temperaturas máximas estarán por encima de sus valores normales "color rojo", y el resto del departamento estará en condiciones normales "color blanco".

NOTA. - Estos pronósticos no estiman los valores extremos diarios, sino son la representación de los valores promedios de los próximos tres meses.

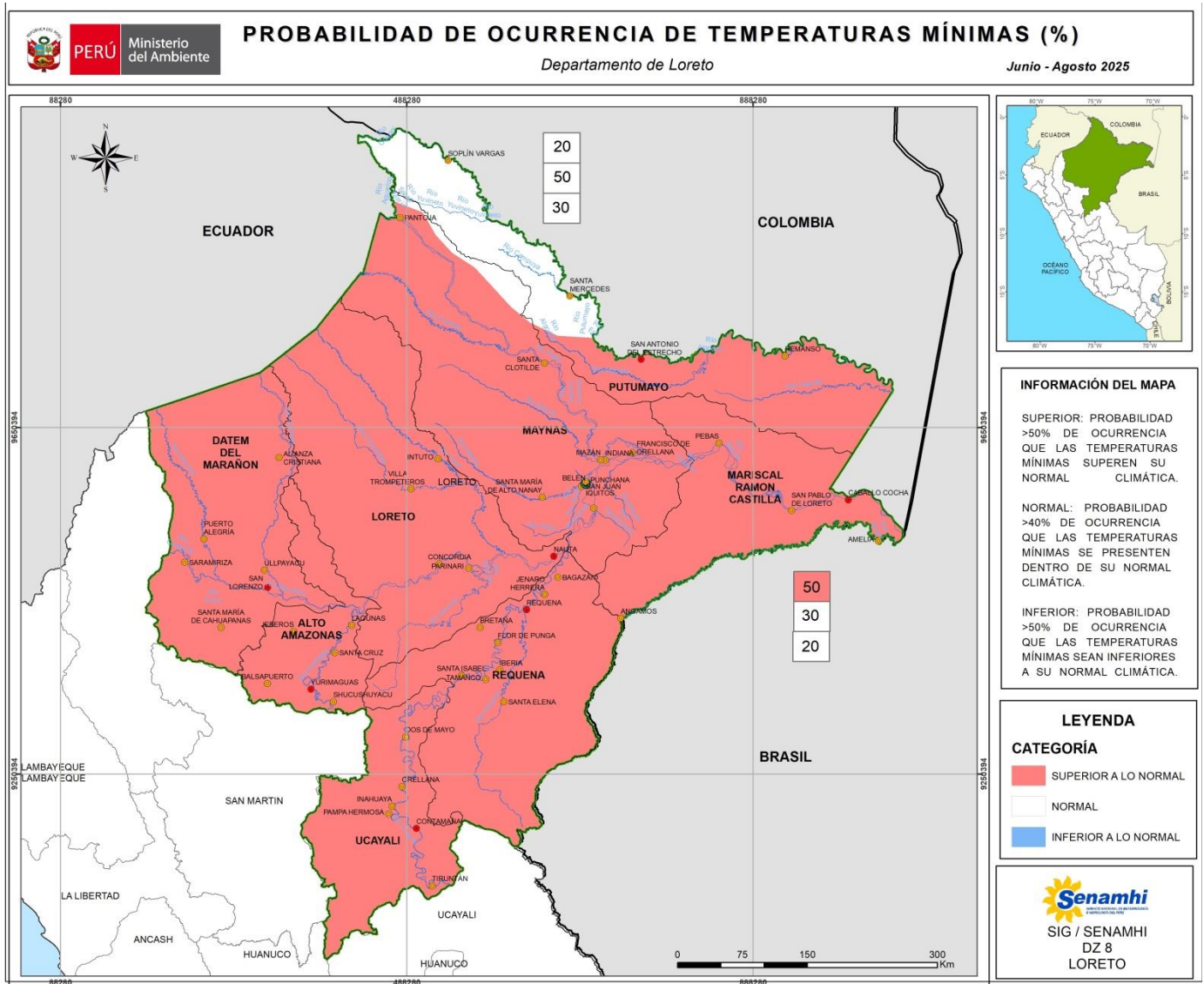


Mapa 2. Probabilidad de ocurrencia de temperaturas máximas del trimestre (Junio - Agosto 2025).

PRONÓSTICO DE TEMPERATURAS MÍNIMAS

Para el trimestre (Junio - Agosto 2025), se prevé que, en gran parte del departamento de Loreto, las temperaturas mínimas estén por encima de sus valores normales "color rojo", y el resto del departamento esté en condiciones normales "color blanco".

NOTA. - Estos pronósticos no estiman los valores extremos diarios, sino son la representación de los valores de cada tres meses.



Mapa 3. Probabilidad de ocurrencia de temperaturas mínimas del mes de Junio a Agosto del 2025.

EVALUACIÓN HIDROLÓGICA

SITUACIÓN HIDROLÓGICA DE LOS PRINCIPALES RÍOS EN LORETO

RÍO AMAZONAS-ENAPU IQUITOS

El río Amazonas en el mes de mayo 2025, presentó un régimen estable, siendo el nivel máximo registrado día 5 con un valor de 117.84 msnm., valor superior registrado el año pasado y superior a su registro histórico con 2.87m y 0.71m, respectivamente. El nivel mínimo ocurrió el día 29 con 117.70 msnm., valor superior ocurrido el año pasado y a su registro histórico en 3.30m y 1.56m respectivamente, el nivel medio mensual correspondiente al mes de mayo fue de 117.77 msnm., valor superior ocurrido el año pasado y a su registro histórico en 3.07m y 0.96m respectivamente. El comportamiento lo apreciamos en el gráfico 8.

RÍO AMAZONAS-TAMSHIYACU

Durante el mes de mayo 2025, el nivel del río Amazonas, presentó un comportamiento estable, siendo el nivel máximo registrado el día 8 con un valor de 119.20 msnm., valor superior registrado el año pasado y superior a su registro histórico con 2.88m y 0.89m respectivamente, el nivel mínimo se registró el día 31 con 118.92 msnm., valor superior ocurrido el año pasado y a su registro histórico en 3.14m y 1.68m respectivamente. El nivel medio mensual correspondiente al mes de mayo fue de 119.09 msnm. Valor superior ocurrido el año pasado y a su registro histórico en 3.07m y 1.15m respectivamente. El comportamiento lo apreciamos en el gráfico 9.

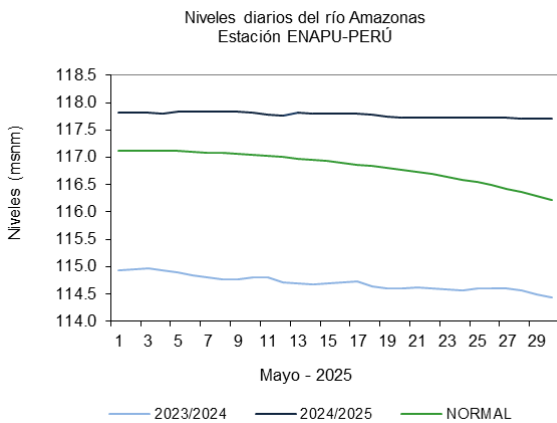


Gráfico 8. Hidrograma del río Amazonas. Estación EHMA ENAPU Perú.

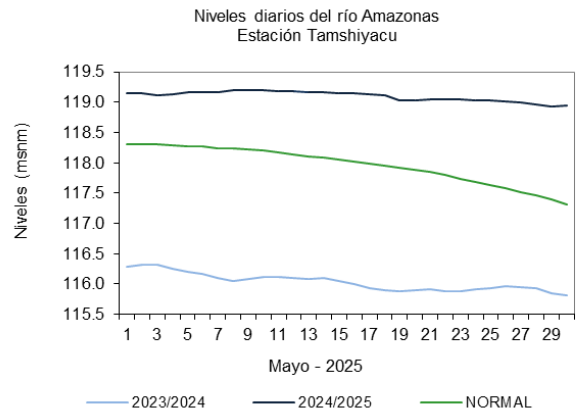


Gráfico 9. Hidrograma del río Amazonas. Estación HLM Tamshiyacu.

RÍO MARAÑÓN-BORJA

Durante el mes de mayo 2025, el nivel del río Marañón en la ciudad de Borja, se comportó con un régimen oscilante. El nivel máximo presentado fue el día 14 con 169.49 msnm., valor superior ocurrido el año pasado y superior a su registro histórico en 2.01m y 2.69m, respectivamente, el nivel mínimo se registró el día 10 con 164.93 msnm., valor superior ocurrido el año pasado e inferior a su registro histórico en 0.39m y -0.67m, respectivamente. El nivel promedio mensual correspondiente al mes de mayo fue de 166.49 msnm, valor superior ocurrido el año pasado y superior a su registro histórico en 0.93m y 0.12m respectivamente. El comportamiento a lo largo del mes lo apreciamos en el gráfico 10.

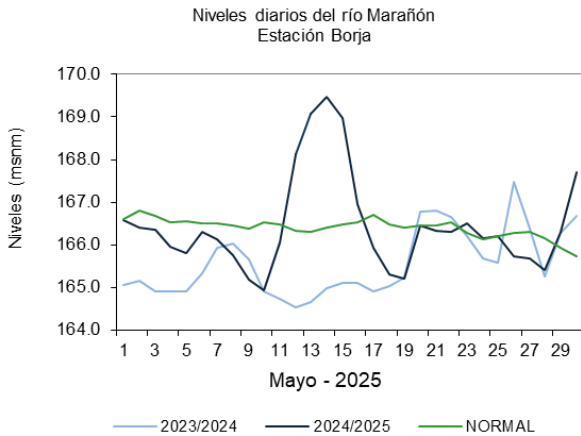


Gráfico 10. Hidrograma del río Marañón. Estación HLM Borja.

RÍO HUALLAGA-LAGUNAS

El río Huallaga en el mes de mayo 2025, presentó un comportamiento hidrológico oscilante a descendente, presentando un nivel máximo el día 5 con un valor de 116.59 msnm., valor superior ocurrido el año pasado y a su registro histórico en 1.72m y 0.45m, su nivel mínimo fue el día 21 con 114.42 msnm, valor superior ocurrido el año pasado e inferior a su registro histórico en 0.74m y -1.11m, respectivamente. El nivel promedio mensual fue de 115.59 msnm, valor superior ocurrido el año pasado e inferior a su registro histórico en 1.25m y -0.19m respectivamente. La variación mensual lo apreciamos en el gráfico 11.

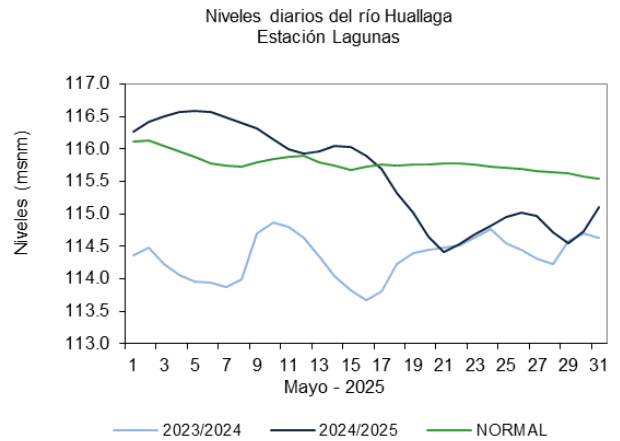


Gráfico 11. Hidrograma del río Huallaga. Estación HLM Lagunas

RÍO NAPO - BELLAVISTA

Durante el mes de mayo 2025, el nivel del río Napo en la ciudad de Bellavista, se comportó con un régimen oscilante a ascendente. El nivel máximo presentado fue el día 31 con 91.31 msnm., valor superior ocurrido el año pasado y superior a su registro histórico en 0.77m y 1.23m, respectivamente, el nivel mínimo se registró el día 3 con 89.71 msnm., valor superior ocurrido el año pasado y a su registro histórico en 0.70 y 0.08m, respectivamente. El nivel promedio mensual correspondiente al mes de mayo fue de 90.50 msnm, valor superior ocurrido el año pasado y superior a su registro histórico en 0.63m y 0.61m respectivamente. El comportamiento a lo largo del mes lo apreciamos en el gráfico 12.

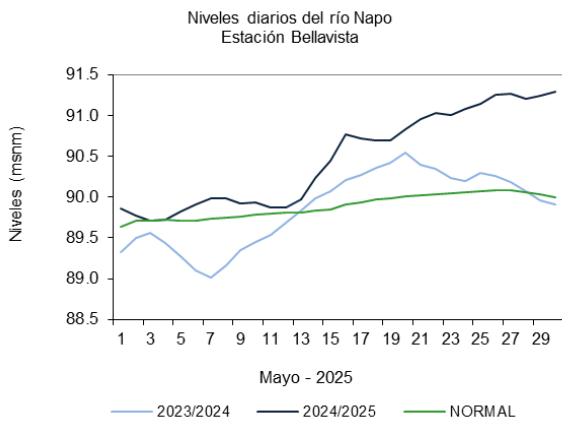


Gráfico 12. Hidrograma del río Napo. Estación HLM - Bellavista.

RÍO NANAY - SANTA MARÍA DE NANAY

El río Nanay en el mes de mayo 2024, presentó un comportamiento hidrológico oscilante a ascendente, presentando un nivel máximo el día 31 con un valor de 127.29 msnm., valor superior ocurrido el año pasado y superior a su registro histórico en 0.36m y 0.84m, su nivel mínimo fue el día 10 con 126.10 msnm, valor superior ocurrido el año pasado e inferior a su registro histórico en 0.17m y -0.16m, respectivamente. El nivel promedio mensual fue de 126.49 msnm, valor superior ocurrido el año pasado y superior a su registro histórico en 0.11m y 0.16m respectivamente. La variación mensual lo apreciamos en el gráfico 13.

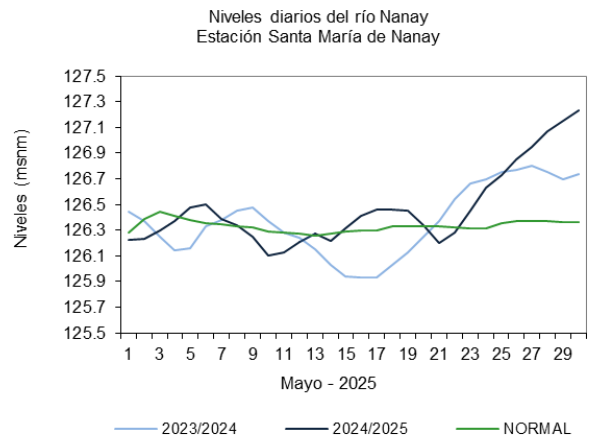


Gráfico 13. Hidrograma del río Nanay. Estación HLM - Santa María de Nanay.

Tabla 5. Niveles diarios del río Amazonas en las estaciones control ENAPU y Tamshiyacu, mayo 2025.

HLM – ENAPU			HLM - TAMSHIYACU		
ENAPU - PERU -RIO AMAZONAS			TAMSHIYACU - RIO AMAZONAS		
2023/2024	2024/2025	NORMAL	2023/2024	2024/2025	NORMAL
114.93	117.82	117.13	116.28	119.16	118.31
114.96	117.81	117.13	116.32	119.15	118.30
114.97	117.82	117.13	116.32	119.12	118.30
114.94	117.80	117.13	116.26	119.13	118.29
114.90	117.84	117.12	116.20	119.17	118.28
114.84	117.84	117.10	116.17	119.17	118.26
114.81	117.84	117.09	116.10	119.17	118.24
114.77	117.84	117.08	116.06	119.20	118.23
114.77	117.84	117.07	116.08	119.20	118.22
114.81	117.81	117.05	116.12	119.20	118.20
114.81	117.78	117.03	116.12	119.18	118.17
114.72	117.77	117.01	116.09	119.19	118.14
114.69	117.81	116.98	116.08	119.17	118.11
114.67	117.79	116.96	116.11	119.16	118.08
114.70	117.80	116.93	116.05	119.15	118.05
114.71	117.79	116.90	116.00	119.15	118.02
114.74	117.80	116.87	115.93	119.13	117.98
114.65	117.78	116.84	115.90	119.11	117.95
114.61	117.75	116.80	115.89	119.03	117.92
114.61	117.73	116.78	115.90	119.04	117.89
114.63	117.73	116.74	115.91	119.06	117.85
114.61	117.73	116.69	115.89	119.05	117.80
114.58	117.73	116.65	115.89	119.05	117.73
114.56	117.73	116.59	115.91	119.04	117.68
114.60	117.73	116.55	115.94	119.02	117.63
114.61	117.73	116.50	115.96	119.02	117.58
114.61	117.73	116.43	115.95	119.00	117.52
114.56	117.71	116.36	115.93	118.97	117.46
114.50	117.70	116.29	115.85	118.93	117.39
114.44	117.71	116.22	115.82	118.95	117.31
114.40	117.73	116.14	115.78	118.92	117.24
114.97	117.84	117.13	116.32	119.20	118.31
114.40	117.70	116.14	115.78	118.92	117.24
114.70	117.77	116.82	116.02	119.09	117.94

Fuente: SENAMHI.

Tabla 6. Niveles diarios del río Huallaga y Marañón en las estaciones control Bellavista y Lagunas, mayo 2025.

BELLAVISTA-RIO NAPO			LAGUNAS-RIO HUALLAGA		
2023/2024	2024/2025	NORMAL	2023/2024	2024/2025	NORMAL
89.33	89.86	89.63	114.36	116.26	116.12
89.50	89.77	89.71	114.49	116.41	116.13
89.57	89.71	89.72	114.22	116.51	116.05
89.44	89.72	89.72	114.05	116.56	115.97
89.28	89.82	89.71	113.96	116.59	115.88
89.10	89.91	89.71	113.94	116.57	115.78
89.01	89.98	89.73	113.88	116.48	115.75
89.17	89.98	89.74	113.99	116.41	115.72
89.35	89.92	89.76	114.69	116.32	115.79
89.45	89.94	89.78	114.87	116.15	115.84
89.54	89.87	89.80	114.80	116.00	115.87
89.68	89.88	89.81	114.62	115.94	115.89
89.84	89.98	89.81	114.35	115.96	115.80
89.99	90.24	89.83	114.04	116.05	115.74
90.08	90.45	89.85	113.82	116.02	115.67
90.21	90.77	89.91	113.68	115.90	115.73
90.27	90.72	89.94	113.80	115.70	115.76
90.36	90.69	89.97	114.22	115.32	115.75
90.42	90.69	89.99	114.40	115.02	115.75
90.54	90.84	90.01	114.45	114.64	115.76
90.40	90.96	90.02	114.48	114.42	115.77
90.34	91.03	90.04	114.51	114.53	115.77
90.24	91.01	90.04	114.62	114.68	115.76
90.20	91.08	90.06	114.77	114.82	115.72
90.30	91.14	90.08	114.55	114.95	115.71
90.26	91.25	90.08	114.44	115.03	115.70
90.18	91.27	90.08	114.31	114.97	115.66
90.07	91.20	90.07	114.23	114.72	115.64
89.96	91.24	90.03	114.58	114.54	115.62
89.91	91.29	90.00	114.70	114.74	115.57
89.96	91.31	90.00	114.63	115.11	115.53
90.54	91.31	90.08	114.87	116.59	116.13
89.01	89.71	89.63	113.68	114.42	115.53
89.87	90.50	89.89	114.34	115.59	115.78

Fuente: SENAMHI.

Tabla 7. Niveles diarios del río Huallaga y Marañón en las estaciones control Borja y Sta. María de Nanay, mayo 2025.

BORJA-RIO MARAÑÓN			SANTA MARIA DE NANAY-RIO NANAY		
2023/2024	2024/2025	NORMAL	2023/2024	2024/2025	NORMAL
165.05	166.58	166.60	126.45	126.23	126.28
165.14	166.40	166.80	126.37	126.23	126.39
164.91	166.35	166.67	126.25	126.30	126.45
164.90	165.94	166.52	126.15	126.37	126.41
164.90	165.80	166.54	126.16	126.48	126.38
165.33	166.30	166.51	126.33	126.50	126.36
165.93	166.11	166.49	126.38	126.39	126.35
166.03	165.74	166.46	126.46	126.34	126.33
165.65	165.18	166.38	126.48	126.25	126.32
164.91	164.93	166.52	126.37	126.10	126.29
164.72	166.04	166.48	126.28	126.13	126.28
164.54	168.13	166.33	126.24	126.21	126.27
164.65	169.06	166.31	126.15	126.27	126.26
164.98	169.49	166.40	126.03	126.22	126.27
165.11	168.98	166.48	125.94	126.31	126.29
165.09	166.96	166.52	125.93	126.41	126.30
164.91	165.91	166.69	125.93	126.46	126.30
165.02	165.30	166.48	126.03	126.46	126.33
165.23	165.20	166.39	126.13	126.46	126.33
166.76	166.46	166.45	126.25	126.34	126.33
166.80	166.32	166.46	126.37	126.20	126.33
166.66	166.31	166.53	126.55	126.28	126.32
166.20	166.51	166.27	126.66	126.45	126.32
165.66	166.15	166.12	126.70	126.63	126.32
165.57	166.21	166.20	126.76	126.73	126.36
167.47	165.73	166.29	126.77	126.85	126.37
166.38	165.68	166.29	126.80	126.95	126.37
165.26	165.41	166.15	126.75	127.07	126.37
166.27	166.29	165.93	126.70	127.15	126.36
166.66	167.71	165.72	126.74	127.24	126.36
165.66	168.08	165.60	126.93	127.29	126.35
167.47	169.49	166.80	126.93	127.29	126.45
164.54	164.93	165.60	125.93	126.10	126.26
165.56	166.49	166.37	126.39	126.49	126.33

Fuente: SENAMHI.

DISPONIBILIDAD DEL RECURSO HÍDRICO

El comportamiento del río Amazonas durante el mes de mayo registró niveles por encima a su normal con una variación mensual de 0.14 metros, entre el nivel máximo y mínimo. Las precipitaciones en cabeceras de cuenca estuvieron dentro de su rango normal, en general la tendencia será descendente para el próximo mes de junio.



Foto 1. Campaña de aforo en el sector de San Regis, río Marañón.

El río Marañón, presentó un comportamiento oscilante a descendente durante el mes, los niveles se sitúan por encima de su rango normal, para el mes de junio los niveles tendrán una tendencia descendente, el mayor aporte de la cuenca se tuvo por parte del Alto Marañón.

El río Huallaga, durante el mes de mayo, presentó un régimen hídrico oscilante, con una variación de 2.17 metros, entre el nivel máximo y mínimo.



Foto 2: Estación HLM – Lagunas, río Huallaga.

La disponibilidad del recurso hídrico en el departamento de Loreto en el mes de abril fueron favorable para la navegación fluvial de gran calado y para el transporte de productos forestales y actividad pesquera, sin embargo la actividad turística tuvo buen impacto.

PROYECCIÓN HIDROLÓGICA DEL RÍO AMAZONAS MAYO – JULIO 2025

El análisis de tendencia del comportamiento hidrológico del río Amazonas en el sector de Iquitos, mostro un descenso debido al déficit de lluvia en la parte media y baja de cuenca del río Amazonas.

El análisis estadístico indica un comportamiento diferente a la creciente ocurrido el año pasado hidrológico 2023/2024.

El río Amazonas en noviembre ha manifestado un comportamiento ascendente brusco para posterior descender nuevamente, esto debido a las lluvias irregulares que se presentaban en cabecera de cuenca tanto por sus aportantes que son los ríos Marañón y Ucayali.

El análisis de las proyecciones se realizó en base a los pronósticos de lluvias que se van a presentar en la cuenca Amazónica, donde indican que el comportamiento del río Amazonas va ser ascendente. Sin embargo al mes de junio se visualiza una tendencia estable a descendente.

Esto a su vez alcanzaría niveles bajos, por encontrarnos en etapa de transición a descendente, la cota mínima proyectada es de que alcanzaría es de 111.54 ± 0.20 m. que estaría entre la dos últimas semana del mes de agosto. Ver gráfico 14, donde la línea continua de color rojo indica la proyección del río amazonas hasta la última semana del mes de abril 2025.

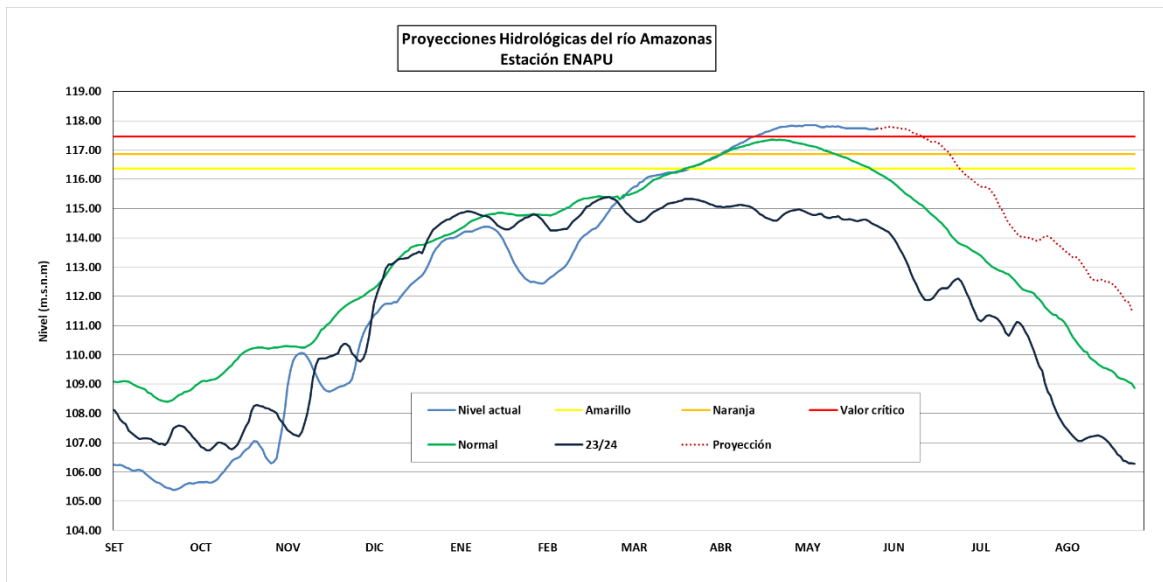


Gráfico 14. Comportamiento y tendencia del río Amazonas.

EVALUACIÓN DE CAUDALES

RÍO AMAZONAS

El río Amazonas se forma por la confluencia de los ríos Marañón y Ucayali al Este de la localidad de Nauta, Provincia de Loreto, distrito de Nauta. El origen se encuentra en la Cordillera de Chila, en Arequipa, en los Andes centrales del Perú, sobre el flanco Norte del Nevado de Mismi o Choquecorao, a 5597 msnm.

Este río nace con el nombre de río Hornillo, aguas abajo toma los nombres Monigote, Apurímac, Ene, Tambo y Ucayali. Más adelante deja territorio peruano y vierte sus aguas en el Océano Atlántico, luego de recorrer unos 6,762 km.

La estación hidrológica Tamshiyacu del SENAMHI, es una estación integradora que permite cuantificar el recurso hídrico en gran parte de la cuenca hídrica de la Amazonía Peruana.

El río Amazonas en la estación de control H-Tamshiyacu, en el año hidrológico 24/25, durante el mes de mayo 2025 obtuvo un caudal máximo 50018.54 m³/s, con descarga media mensual de 49393.63 m³/s y el caudal mínimo con 48398.97 m³/s, representando el 12.46% de exceso de caudal entre el promedio histórico y su media mensual, ver gráfico N° 15.

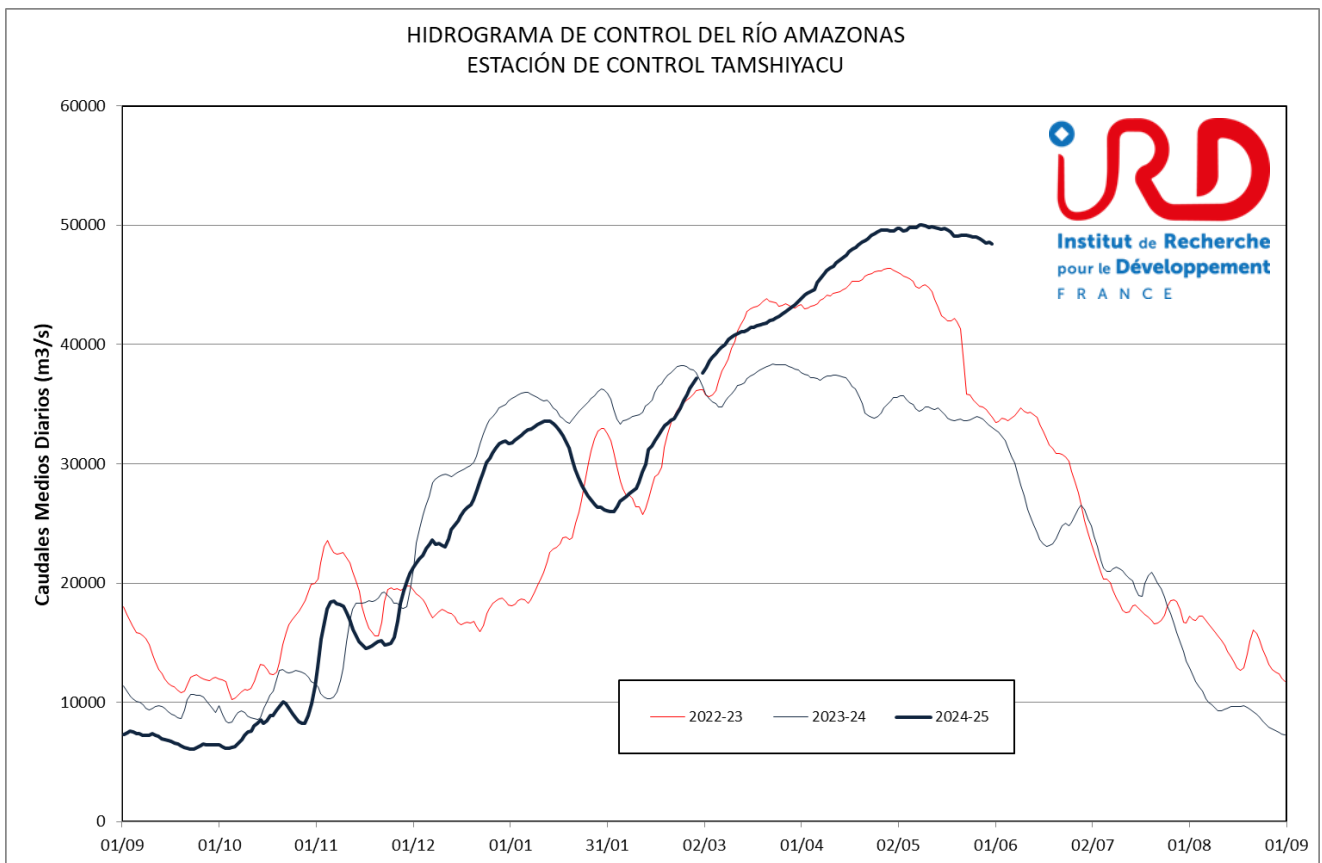
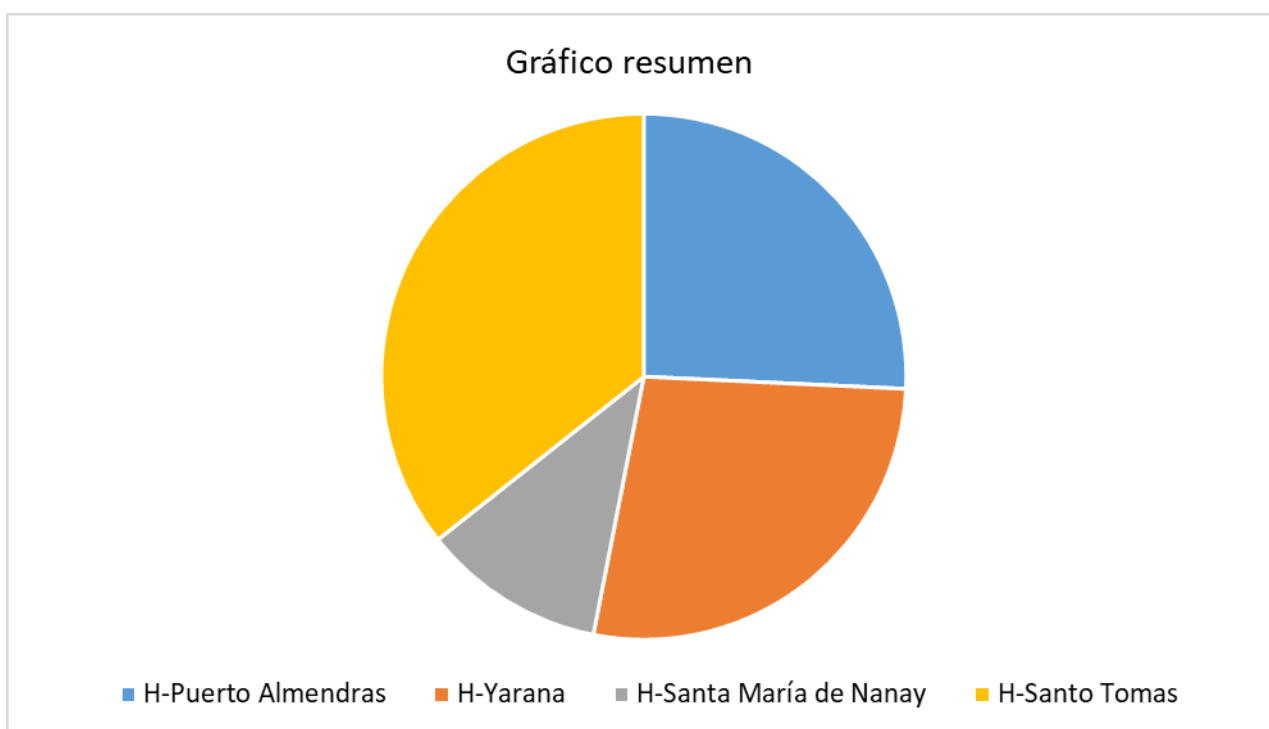


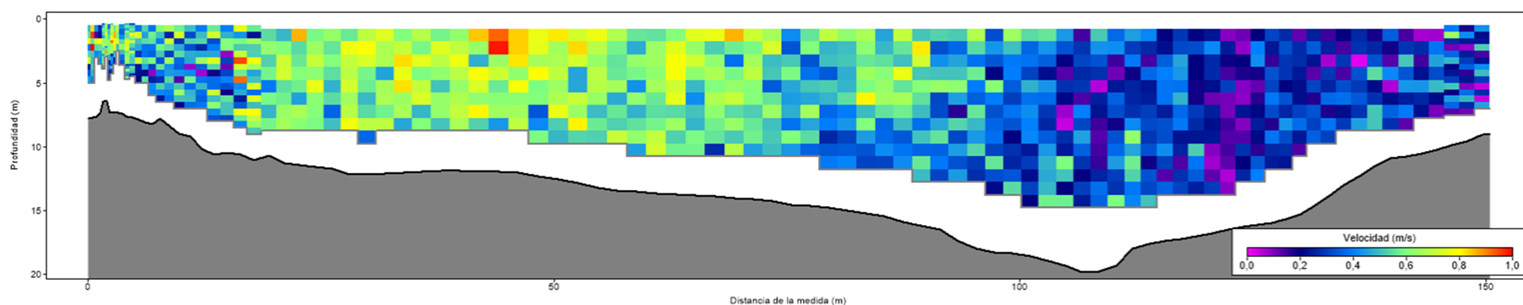
Gráfico 15. Caudal promedio del río Amazonas en el sector de Tamshiyacu.

Tabla 8. IV campaña de aforos en los ríos amazónicos, durante el mes de mayo 2025.

DIRECCION ZONAL 8												
IV CAMPAÑA DE AFORO EN LOS RIOS AMAZONICOS - MES MAYO 2025												
Estacion	Rio	Fecha	Hora Inicio	Hora Fin	Nivel (m)	Caudal (m ³ /s)	Área (m ²)	Ancho del rio (m)	Velocidad del flujo (m/s)	Profundidad maxima (m)	Metodo	Equipo
H-Puerto Almendras	Nanay	7/05/2025	08:26	08:47	9.50	628.92	1825.98	162.59	0.34	19.77	ADCP	SONTEK - IM9
H-Yarana	Nanay	7/05/2025	11:33	11:54	8.90	668.21	1417.50	152.90	0.47	13.49	ADCP	SONTEK - IM9
H-Santa María de Nanay	Nanay	7/05/2025	13:01	14:07	7.88	275.54	684.08	103.90	0.40	8.31	ADCP	SONTEK - IM9
H-Santo Tomas	Nanay	9/05/2025	13:07	13:22	17.98	870.88	2853.38	247.16	0.30	15.13	ADCP	SONTEK - IM9



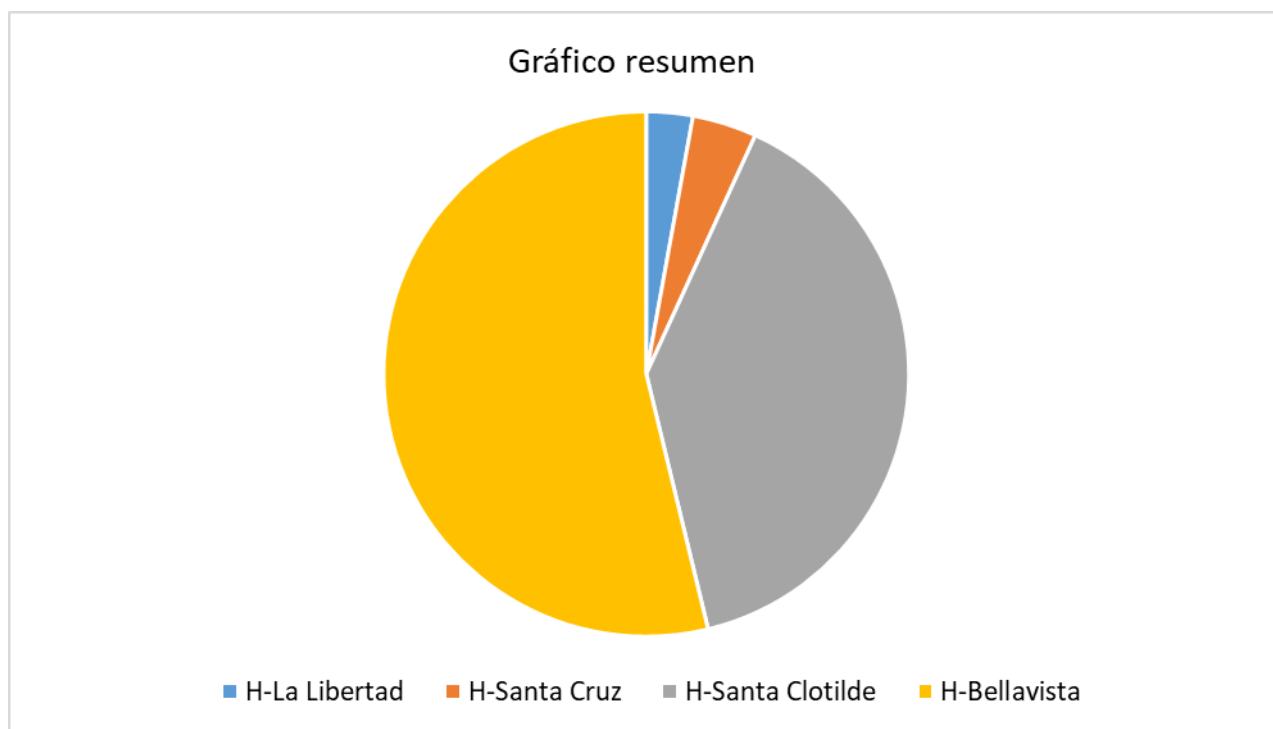
Durante la IV campaña de aforo en la cuenca del río Nanay en época de avenida, se obtuvo volumen considerable en el punto de control H-Santo Tomas con 870.88 m³/s, sin embargo en el punto de control H-Santa María de Nanay se obtuvo un caudal de 275.54 m³/s.



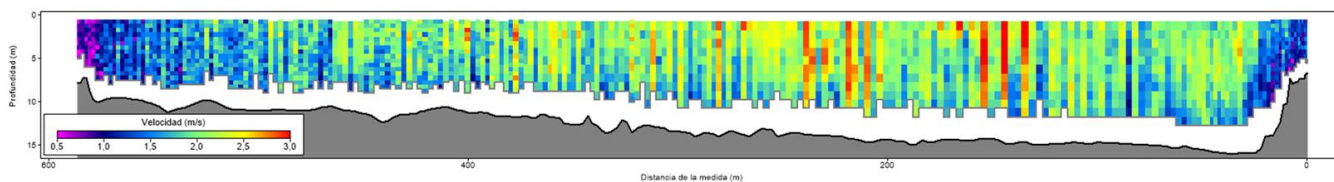
Sección transversal del río Nanay en la estación H-Puerto almendras

Tabla 9. V campaña de aforos en los ríos amazónicos, durante el mes de mayo 2025.

DIRECCION ZONAL 8												
V CAMPAÑA DE AFORO EN LOS RIOS AMAZONICOS - MES MAYO 2025												
Estacion	Rio	Fecha	Hora Inicio	Hora Fin	Nivel (m)	Caudal (m ³ /s)	Área (m ²)	Ancho del rio (m)	Velocidad del flujo (m/s)	Profundidad maxima (m)	Metodo	Equipo
H-La Libertad	Mazan	21/05/2025	14:40	15:30	6.82	619.64	1125.17	120.99	0.55	13.92	ADCP	SONTEK - M9
H-Santa Cruz	Mazan	21/05/2025	15:50	16:15	9.48	860.73	1283.86	160.51	0.67	12.12	ADCP	SONTEK - M9
H-Santa Clotilde	Napo	22/05/2025	11:30	12:35	9.88	8550.70	6079.01	721.06	1.40	16.01	ADCP	SONTEK - M9
H-Bellavista	Napo	23/05/2025	06:03	07:10	8.09	11674.06	6739.56	564.18	1.73	16.44	ADCP	SONTEK - M9



Durante la V campaña de aforo en la cuenca del río Napo, se obtuvo volumen considerable en el punto de control H-Bellavista con 11674.06 m³/s, sin embargo en el punto de control H-Santa Clotilde se obtuvo un caudal de 8550.70 m³/s. También se ha medido el río Mazan y se obtuvo un volumen en el punto de control H-La Libertad 619.64 m³/s, siendo el punto aguas arriba, sin embargo, en el punto H-Santa Cruz se obtuvo un caudal de 860.73 m³/s estando ubicado en la parte baja de la cuenca.



Sección transversal del río Napo en la estación H-Bellavista

EVALUACIÓN AGROMETEOROLÓGICA

DESCRIPCIÓN:

La Dirección zonal 8 – Loreto, durante el mes de mayo, realizó el monitoreo fenológico en 26 estaciones ubicadas en distintas provincias del departamento de Loreto, entre los cuales destacan: Plátano (*Musa spp*), Camu camu (*Myrciaria dubia*), Pijuayo (*Bactris gasipes*), aguaje (*Mauritia flexuosa*), cacao (*Theobroma cacao*), entre otros.

- El cultivo de Plátano en las estaciones Angamos y El Estrecho, se encuentra en fase de retoño. En las estaciones de Lagunas y La Libertad, se encuentra en crecimiento vegetativo. En la estación de Santa Clotilde se encuentra en la fase de inflorescencia. En la zona de la estación de San Roque se encuentra en fructificación; mientras que en la zona de Tamshiyacu se encuentra en fase de maduración.
- El cultivo de Camu Camu, en la zona de Puerto Almendras y San Lorenzo se encuentra en maduración, en las zonas de Francisco de Orellana y Bagazán se encuentran en reposo vegetativo.
- En la zona de Requena, el cultivo de guaba se encuentra en la fase de fructificación. En cuanto al cultivo de macambo, se encuentra en crecimiento vegetativo. El cultivo de Pijuayo, en la zona de Mazán (cuenca río Napo), se encuentra en fase de inflorescencia, desarrollándose adecuadamente.
- El cultivo de cacao, en la zona de Caballococha se encuentran en fructificación, desarrollándose con normalidad. Mientras que en la zona de Manifí se encuentra en fase de maduración.
- El cultivo de yuca en la zona de la Facultad de Agronomía se encuentra en crecimiento vegetativo. En la zona de la estación Santa Rosa, el cultivo de yuca fue perdido por creciente del río Amazonas.
- El cultivo de aguaje en la zona de Genaro Herrera (cuenca río Ucayali) se encuentra en fase de fructificación; en la zona de Santa Cruz (cuenca río Mazán) se encuentra en fase de maduración, desarrollándose adecuadamente. En la zona de Pebas (cuenca del río Amazonas), se realiza el monitoreo del cultivo de Umarí, la cual se encuentra en crecimiento vegetativo.
- En la zona de Tamanco (cuenca del río Ucayali), se realiza el monitoreo del cultivo de naranja, se encuentra en fase de reposo vegetativo.

La Dirección Zonal 8, monitorea y coordina con las instituciones involucradas, con el fin de prevenir a los agricultores respecto a situaciones que podrían afectar sus cultivos.

RED DE ESTACIONES FENOLÓGICAS – DZ8 – LORETO



Mapa 4: Red de estaciones fenológicas de la Dirección Zonal 8 – Loreto.

TENDENCIA AGROCLIMÁTICA



PLÁTANO

Se prevé condiciones de temperatura máxima dentro de sus valores normales, y mínimas superiores a sus valores normales, en cuanto a las precipitaciones estará superior a sus valores normales, favorable para el desarrollo de enfermedades fúngicas y bacterianas.



CAMU CAMU

El cultivo de Camu Camu, en la zona de Puerto Almendras y San Lorenzo se encuentra en maduración, en las zonas de Francisco de Orellana y Bagazán se encuentran en reposo vegetativo. Se prevé condiciones de temperatura máximas dentro de sus valores normales y mínimas sobre sus valores normales. Las precipitaciones estarán sobre sus valores normales, siendo favorables para el proceso de maduración de los frutos.



PIJUAYO

El cultivo de Pijuayo, en la zona de Mazán (cuenca río Napo), se encuentra en fase de inflorescencia. Se prevé precipitaciones sobre sus valores normales. En cuanto a las condiciones de temperatura máxima será dentro de sus valores normales, estas condiciones serán favorables para el desarrollo del cultivo.



YUCA

En la zona de la Facultad de Agronomía se encuentra en crecimiento vegetativo, desarrollándose favorablemente, se prevé precipitaciones en los próximos meses sobre sus valores normales, pudiendo ocasionar la aparición de enfermedades fúngicas en la zona.

MONITOREO DE PLÁTANO – ESTACIÓN ANGAMOS



Fotos 3,4 y 5: Cultivo de plátano en fase de retoño - Estación Angamos.

**CULTIVO DE YUCA – CÁMARA PANORÁMICA MONITOREO REMOTO UNAP –
FACULTAD DE AGRONOMÍA**



Fotos 6: Cultivo de yuca en crecimiento vegetativo - Estación UNAP- Facultad de Agronomía.

EVALUACION AGROMETEOROLOGICA

EVALUACIÓN FENOLÓGICA – MAYO 2025

ESTACION	NOMBRE DE CULTIVO	VARIEDAD	FECHA DE SIEMBRA	FASE FENOLOGICA			ESTADO DEL CULTIVO	LABORES CULTURALES	DAÑOS POR FENOMENOS METEOROLOGICOS		DAÑOS POR PLAGAS Y ENFERMEDADES			OBSERVACIONES ADICIONALES
				FASE REPRESENTATIVA	Fecha inicio de fase	%			FENOMENO REPRESENTATIVO	PLAGA REPRESENTATIVA	FECHA	%		
ANGAMOS	PLATANO	FHIA-21	03-03-25	Retoño	29-04-25	100	1	Ninguno	Ninguno	Ninguno				
BAGAZAN	CAMU CAMU	HBK MC VAUGH	10-11-10	Reposo Vegetativo	07-10-24	100	1	Ninguno	Ninguno	Ninguno			Inundado	
BELLAVISTA	TORONJA	CITRUS SP	01-02-24	Crecimiento Vegetativo	06-06-24	100	1	Ninguno	Ninguno	Ninguno				
BRETAÑA	PLATANO	BELLACO	15-05-24	Floración	11-03-25	100	1	Ninguno	Inundación	Ninguno			Pérdida de cultivo por inundación	
CABALLOCOCHA	CACAO	CRIOLLO	02-02-19	Fructificación	02-04-25	100	1	Ninguno	Ninguno	Ninguno				
EL ESTRECHO	PLÁTANO	BELLACO	16-02-25	Retoño	16-02-25	100	1	Deshiervo	Ninguno	Ninguno				
FLOR DE PUNGA													Inundado por creciente de río	
FRANCISCO DE ORELLANA	CAMU CAMU	HBK MC VAUGH	28-11-16	Reposo Vegetativo	03-12-24	100	1	Ninguno	Ninguno	Ninguno				
GENARO HERRERA	AGUAJE	SHAMBO	01-05-02	Fructificación	17-12-24	100	1	Ninguno	Ninguno	Ninguno				
LAGUNAS	PLATANO	FHIA-21	14-06-23	Crecimiento vegetativo	22-07-24	100	2	Limpieza	Ninguno	Ninguno				
LA LIBERTAD	PLATANO	BELLACO	20-09-24	Crecimiento vegetativo	29-10-24	100	1	Ninguno	Ninguno	Ninguno				
MANITI	CACAO	CCN-51	15-06-23	Maduración	16-05-24	100	3	Limpieza	Ninguno	Ninguno				
MAZAN	PIJUAYO	ROJO	05-01-16	Inflorescencia	05-05-25	70	1	Ninguno	Ninguno	Ninguno				
PEBAS	UMARI	NEGRO	29-03-20	Crecimiento vegetativo	15-08-20	100	2	Ninguno	Ninguno	Ninguno				
PUERTO ALMENDRAS	CAMU CAMU	HBK MC VAUGH	20-10-13	Maduración	05-05-25	100	1	Ninguno	Ninguno	Ninguno				
REQUENA	GUABA	Inga edulis	23-08-20	Fructificación	18-12-24	100	1	Limpieza	Ninguno	Ninguno				
REQUENA	MACAMBO	RUGOSO	01-11-20	Crecimiento Vegetativo	17-12-24	100	1	Ninguno	Ninguno	Ninguno			Parcela inundada por creciente de río 200 Kg	
SAN LORENZO	CAMU CAMU	HBK MC VAUGH	01-04-12	Maduración	08-12-24	100	2	Cosecha	Ninguno	Ninguno				
SANTA CLOTILDE	PLATANO	FHIA 21	01-03-20	Inflorescencia	08-04-25	60	2	Limpieza	Ninguno	Ninguno				
SANTA CRUZ	AGUAJE	SHAMBO	02-05-04	Maduración	15-01-25	100	1	Ninguno	Ninguno	Ninguno				
SANTA MARIA DE NANAY	LIMÓN	TAHITI	09-06-19	Crecimiento vegetativo	17-02-23	100	1	Ninguno	Ninguno	Ninguno				
SANTA ROSA													Parcela inundada por creciente de río Terreno inundado	
SAN REGIS														
SAN ROQUE	PLATANO	BELLACO	15-05-23	Fructificación	16-09-24	90	1	Limpieza	Ninguno	Ninguno				
TAMANCO	NARANJA	CRIOLLA	05-05-21	Fructificación	18-03-25	100	1	Limpieza	Lluvias e inundación	Ninguno			Parcela inundada por creciente de río	
TAMSHIYACU	PLATANO	FHIA 21	28-12-23	Maduración	10-02-25	100	1	Limpieza	Ninguno	Ninguno				

Tabla 10. V campaña de aforos en los ríos amazónicos, durante el mes de mayo 2025.

EVALUACIÓN AMBIENTAL

MONITOREO DE POLVO ATMOSFÉRICO EN LA CIUDAD DE IQUITOS

La contaminación atmosférica, es la presencia de agentes químicos (polvos, humos, nieblas, gases y vapores), físicos (ruidos, radiaciones ionizantes y no ionizantes) y biológicos (ácaros, hongos, bacterias, polen) en el aire; en concentraciones que perjudican la salud, seguridad y bienestar de la población. La Organización Mundial de la Salud (OMS) ha establecido a los Contaminantes Sólidos Sedimentables (CSS) = Polvo Atmosférico Sedimentable (PAS), como parámetro de evaluación, que permite determinar la calidad del aire por la polución.

Actualmente las actividades antropogénicas y naturales deterioran la calidad del aire en la ciudad de Iquitos, afectando en diferentes grados la salud de la población, principalmente a niños menores de 5 años, madres gestantes, ancianos. Para la medición de Polvo Atmosférico se han instalado 9 puntos de control distribuidos en los distritos de Punchana, Belén, Iquitos y San Juan Bautista. Los resultados se muestran en la siguiente tabla, gráfico y en el mapa de distribución espacial de la concentración de la polución registrado en mayo 2025, se aprecia la mayor contaminación en el sector de la Av. La Participación y Av. La Marina; en general se superan el Límite Máximo Permitido de 5.0 Tm/km² por mes recomendado por la OMS, es evidente la contaminación del aire por este componente.

Programa de medición de polvo atmosférico - MAYO 2025					
Est.	Medición de polvo	Ubicación	Coordenadas UTM Zona		Tm/km ² /mes
			Este (X)	Norte (Y)	
PM1	Estación IIAP	San Juan Bautista	691640	9583379	S/D
PM2	Estación Participación	Belén	692322	9582589	20.2
PM3	Estación Serenazgo Belén		692593	9582993	12.4
PM4	Estación Senamhi	Iquitos	693847	9583731	15.8
PM5	Estación CIA Bomberos		694506	9584470	18.8
PM6	Estación Huallaga		694630	9585169	15.2
PM7	Estación Távora		695216	9585924	5.3
PM8	Estación Parque Zonal		694375	9586227	9.1
PM9	Estación Liceo Naval	Punchana	695156	9588606	21.6
PM10	Estación Huascar		693709	9587639	4.5

Tabla 11. Resultados del monitoreo de polvos atmosféricos en la ciudad de Iquitos durante el mes de mayo 2025.

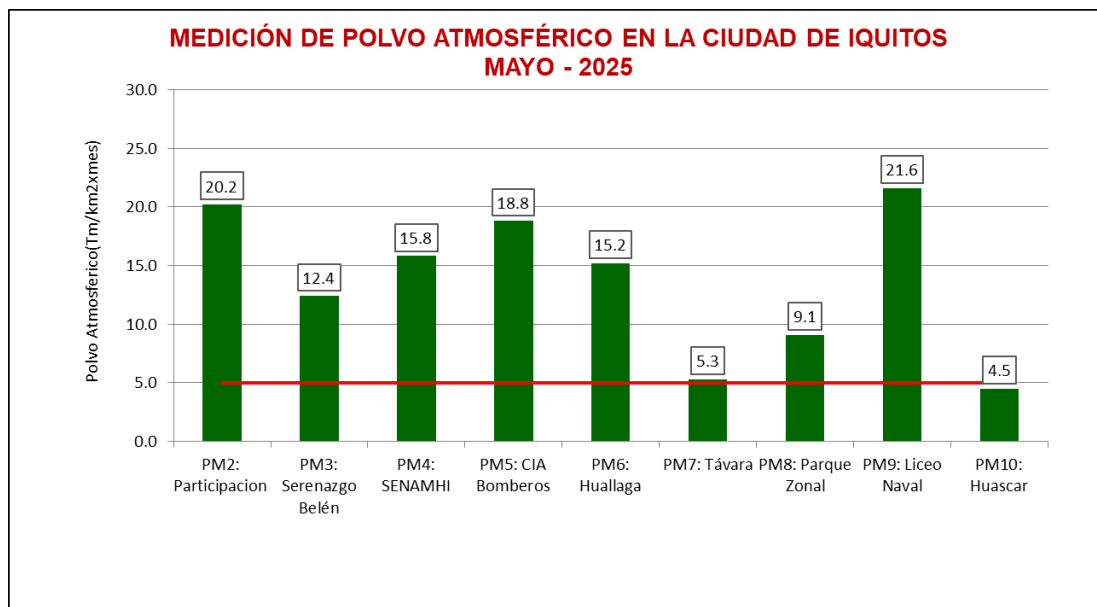


Gráfico 16. Resultados del monitoreo de los CSS en la ciudad de Iquitos durante el mes de mayo 2025.

Las estaciones de la Av. La Participación, CIA Bomberos y Colegio Liceo Naval, superan en su mayoría los valores de contaminación por polvos atmosféricos en la ciudad de Iquitos.



Foto 08: Estación Serenazgo Belén.



Foto 09: Estación Huáscar.

VIGILANCIA DE LA RADIACIÓN UV-B EN LA CIUDAD DE IQUITOS

En la Amazonía, las condiciones meteorológicas y ambientales obedecen a sistemas sinópticos propios de la temporada de otoño. Serán característicos todavía días muy soleados con precipitaciones mayormente cercanos a sus patrones climáticos, en algunos lugares bastante localizados se registrarán por encima de sus valores normales y en otras hasta por debajo o sea con déficits. Se registraron algunos remanentes de masas de aire provenientes del Sureste y Este, aportando humedad a la región norte, permitiendo la ocurrencia de algunas precipitaciones.

Por otro lado, el sistema denominado Zona de Convergencia Intertropical presentará una menor injerencia en los procesos convectivos permitiendo la ocurrencia de precipitaciones localizadas en parte de América del Sur, pero cada vez con menor intensidad. Ante este panorama, los niveles de radiación ultravioleta promedio mensual, en toda la selva, oscilaron entre 6 y 8 considerados como niveles de riesgo para la salud de las personas Alta y Muy Alta.

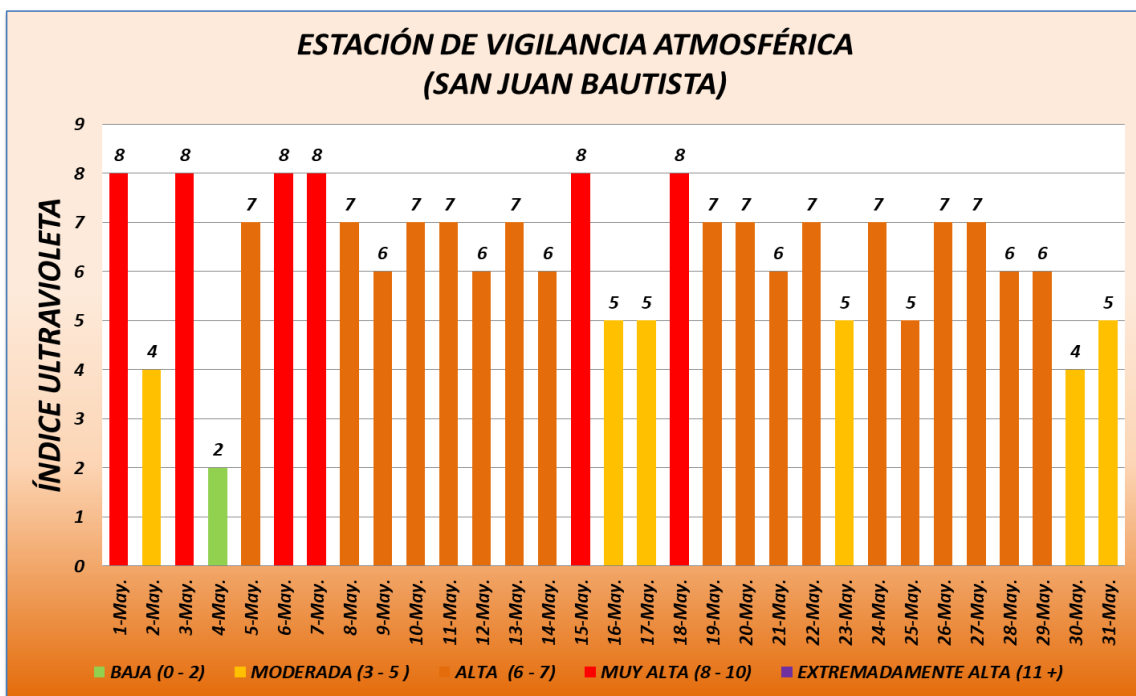


Gráfico 17. Índice Ultravioleta IUV de la EVA Iquitos, San Juan Bautista, valor máximo durante el mes de mayo 2025.

Como se aprecia los días 01, 03, 05, 06, 15 y 18 de mayo; se alcanzó el valor máximo de IUV 8 considerada como a “Muy alta”, con temperatura máxima de 34.1 °C, temperatura mínima de 23.2 °C, con precipitaciones los días 01, 03, 05 y 15 de 34.2 mm; cielo nublado parcial con lluvia ligera.

En tanto el día 04 de mayo se alcanzó el valor mínimo de IUV 2 considerada como a “Baja”, con temperatura máxima de 26.0 °C, temperatura mínima de 22.6 °C; con precipitación de 28.8 mm, cielo cubierto con lluvia.

El promedio del mes de Abril en IUV es el valor de 6, considerada como “Alta”, que corresponde al riesgo de salud para las personas.

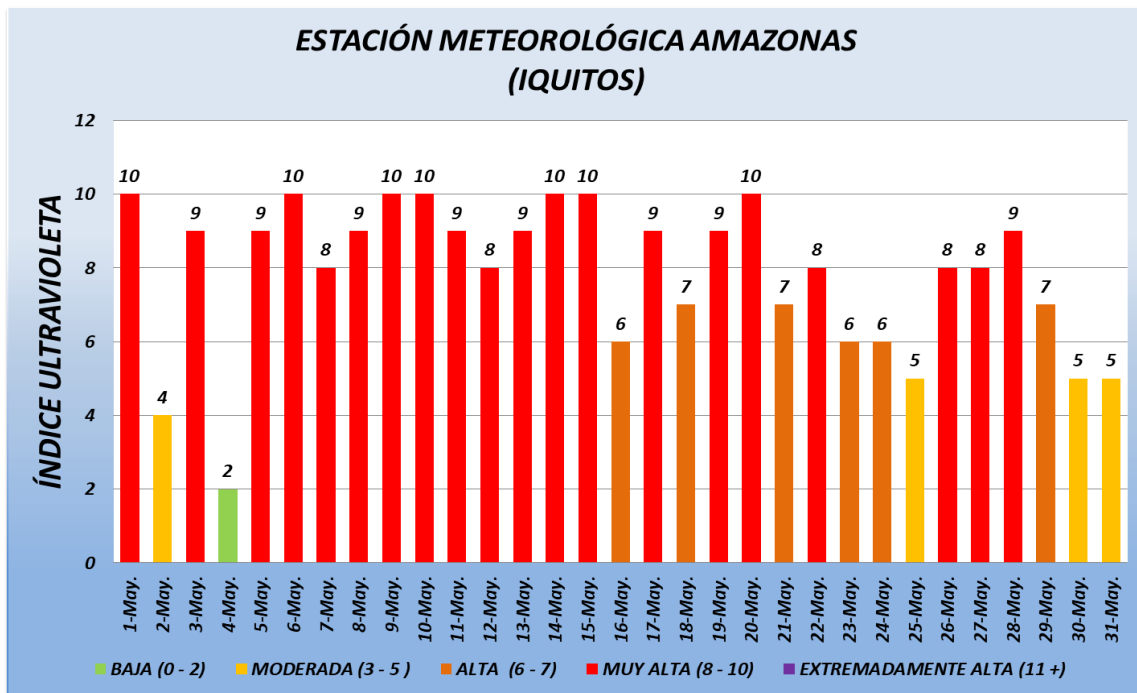


Gráfico 18. Índice Ultravioleta IUV de la Estación Amazonas, Iquitos, valor máximo durante el mes de Mayo del 2025.

Como se aprecia los días 01, 05, 09, 10, 14, 15 y 20 de Mayo; se alcanzó el valor máximo de IUV 10 considerada como a “Muy Alta”, con temperatura máxima de 34,0 °C, temperatura mínima de 23,0 °C, con precipitaciones los días 01, 05, 09, 10, 14, 15 y 20 de 73.8 mm; cielo nublado con lluvia ligera.

El día 04 de Mayo se obtuvo un valor mínimo de IUV 2, considerada como “Baja”, con temperatura máxima de 26,6°C, temperatura mínima de 23,6 °C; con precipitación de 41.3 mm, cielo cubierto con lluvia.

El promedio del mes de Mayo en IUV es el valor de 8, considerada como “Muy Alta”, que corresponde al riesgo de salud para las personas.



Mapa 5: Estaciones de Vigilancia de la Radiación UV – Ciudad de Iquitos.

LANZAMIENTO DE RADIOVIENTOSONDA: MONITOREO DEL CLIMA

Las radiosondas son dispositivos digitales que son lanzadas junto a un globo meteorológico, inflado de helio o hidrógeno, y ofrecen datos precisos en la medición de humedad, presión, temperatura y características del viento. Además, registran los perfiles verticales de la atmósfera, información que es esencial para obtener un panorama general del estado actual y futuro de la atmósfera. Estos datos se transmiten a una estación terrestre en la que personal capacitado y cualificado se ocupa de descodificarlos y analizarlos.



Fotos 10 y 11. Globo látex y dispositivo de radiosonda

La radiosonda es un instrumento electrónico de cien (100) gramos de peso aproximadamente, que a bordo de un globo meteorológico de trescientos cincuenta (350) gramos de peso, realiza mediciones y transmite simultáneamente datos meteorológicos mientras asciende a través de la atmósfera.

GRÁFICOS DEL MES DE MAYO

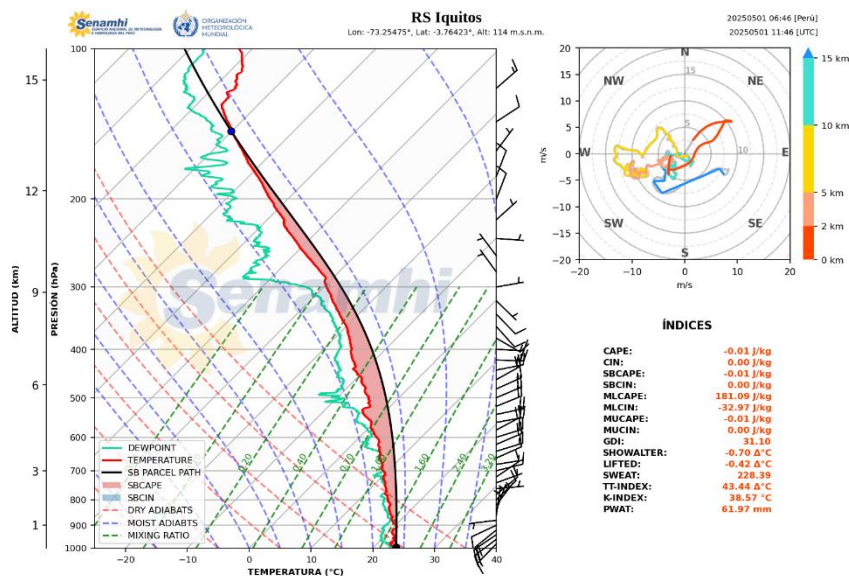


Gráfico 19. Perfil atmosférico de Iquitos, RWS del 01/05/2025.

Como se aprecia en el gráfico el día 01 de mayo el radiosondeo, a nivel de superficie y niveles bajos se presentaron vientos del Noroeste en calma con una temperatura de 24,0°C; en niveles medios también vientos en calma; y en niveles altos mostrando las mismas características.

DIRECCIÓN ZONAL 8 - LORETO

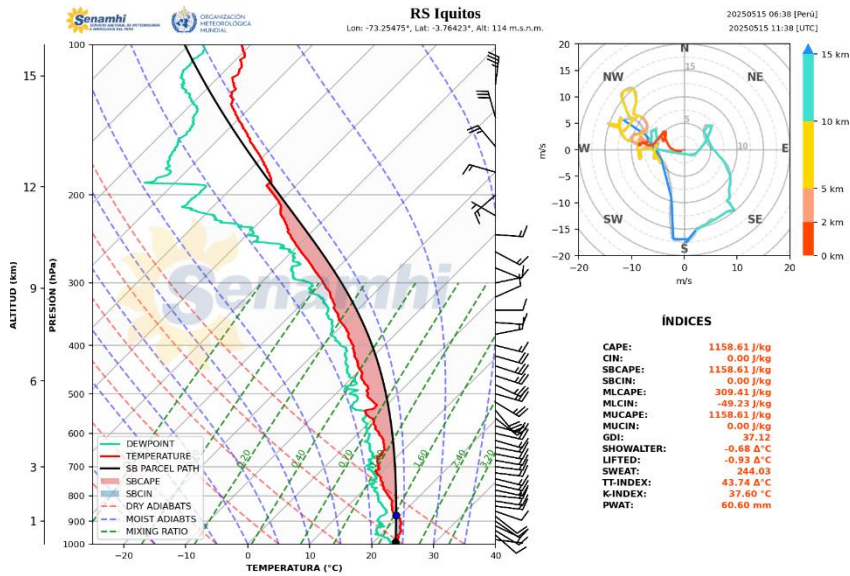


Gráfico 20. Perfil atmosférico de Iquitos, RWS del 15/05/2025.

Como se aprecia en gráfico el día 15 de mayo el radiosondeo, a nivel de superficie y niveles bajos se presentaron vientos del Noroeste en calma con una temperatura de 24,0°C; en niveles medios también vientos en calma; y en niveles altos mostrando vientos ligeros.

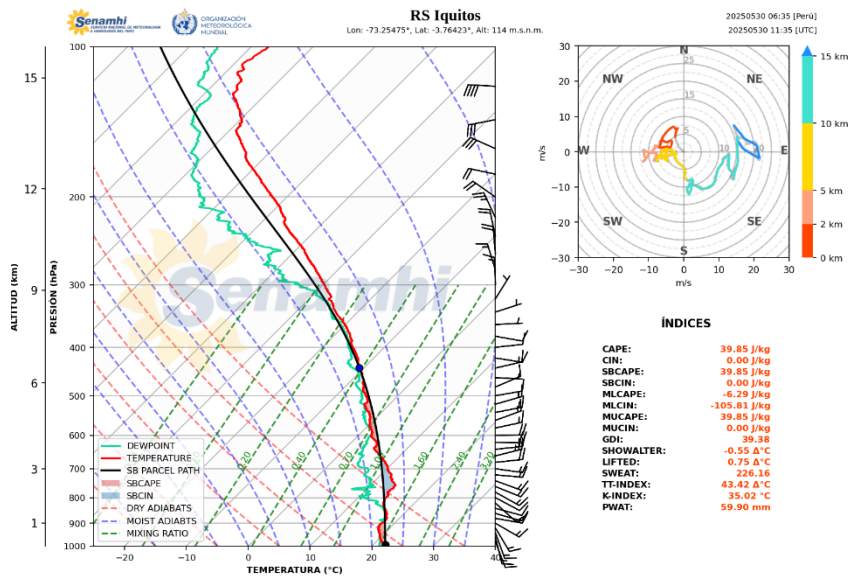


Gráfico 21. Perfil atmosférico de Iquitos, RWS del 30/05/2025.

Como se aprecia en el gráfico el día 30 de mayo el radiosondeo, presentó a nivel de superficie y niveles bajos vientos del Noroeste moderadamente ligeros, con una temperatura de 22,9°; en niveles medios y altos vientos ligeros. Presentando durante todo el día altos niveles de precipitación (50.40mm).

De acuerdo al procedimiento, culminado el registro del perfil atmosférico de radiosondeo se envían los datos generados hacia los servidores de SENAMHI central. Los gráficos de los radiosondeos, se pueden visualizar en los siguientes enlaces:

<https://www.senamhi.gob.pe/?p=estaciones-radiosondeo>

<https://wdqms.wmo.int/>

<https://weather.uwyo.edu/upperair/bufrraob.shtml>

AEROFOTOGRAMETRÍA EN DETERMINACION DE ZONAS DE INUNDACIÓN EN LOS DISTRITOS DE PUNCHANA Y BELÉN

La aerofotogrametría para determinar las áreas de inundación en las zonas más impactadas como los Asentamientos urbanos ubicados en los márgenes del río Itaya y Nanay, donde se localiza la ciudad de Iquitos, y en particular el distrito de Belén y Punchana, reconocido por su alta vulnerabilidad ante eventos hidrológicos extremos. En este contexto, resulta fundamental contar con herramientas técnicas que permitan evaluar el comportamiento hidrológico y la dinámica del territorio afectado. La aerofotogrametría, mediante el uso de drones y procesamiento fotográfico, se ha convertido en una tecnología de gran valor para el monitoreo y análisis del territorio permitiendo identificar zonas de acumulación de agua, modelar la topografía local, y registrar evidencias del impacto de las inundaciones de forma sistemática y georreferenciada.



Fotos 12, 13 y 14: Toma aérea del día 20 de mayo de 2025.

Se observa la PTAR (Planta de Tratamiento de Aguas Residuales) siendo afectada por la inundación, al igual que amplias zonas urbanas y periurbanas adyacentes, evidenciando el impacto del aumento del nivel del río Nanay. En la foto superior derecha, sector Belén (Cabo López) se identifica una zona densamente poblada afectada. La acumulación de agua en calles y viviendas refleja la vulnerabilidad de esta área ante crecidas fluviales, con implicancias sociales y de salud pública. Finalmente, En la foto inferior derecha, se aprecia al profesional de campo, su labor es clave para la evaluación del impacto de la inundación y la delimitación de áreas afectadas mediante técnicas de fotogrametría y teledetección aplicada a la hidrología.

Se realizaron vuelos con dron a una altura de 90 metros, en condiciones de cielo despejado y temperatura promedio de 30 °C, con una trayectoria entre 6.5 y 7 km/h, en presencia de viento leve con dirección noreste y velocidad promedio de 3.3 km/h. Estas condiciones permitieron la captura de imágenes de alta resolución. Estas fueron procesadas para generar productos fotogramétricos, tales como ortomosaicos y modelos digitales de elevación (MDE).

DIRECCIÓN ZONAL 8 - LORETO

Rio Amazonas – Iquitos ENAPU (msnm)	
ROJO	117.45
NARANJA	116.86
AMARILLO	116.36

Los umbrales de inundación según SENAMHI, los colores rojo, naranja y amarillo indican distintos niveles de riesgo hidrológico, con el rojo siendo el nivel crítico que requiere alerta máxima, el naranja advirtiendo de situaciones preventivas y el amarillo indicando riesgo bajo.

El procesamiento de los productos fotogramétricos, **determinar con precisión la línea de máxima inundación registrada durante el presente año hidrológico**, identificando la **cota altimétrica alcanzada por el nivel del agua en las zonas críticas**. En la estación automática hidrológica ENAPU la cota **117.84 m.s.n.m. se considera como alerta hidrológica de alto riesgo [UMBRAL ROJO]**. En el área de estudio, se realizó el trabajo de aerofotogrametría cuando el nivel del río se encontraba en **117.73 m.s.n.m.** Sin embargo, Durante este evento, el nivel del río superó el umbral rojo de alerta hidrológica, alcanzando un valor máximo de **117.84 m.s.n.m.** el 05 de mayo de 2025, el cual se mantuvo constante hasta el 09 de mayo de 2025.

Esta información resulta fundamental para la actualización de mapas de riesgo, validación de registros hidrológicos y soporte técnico en la toma de decisiones para la gestión del riesgo de desastres.

El producto obtenido muestra las variaciones altitudinales del terreno, facilitando la identificación de zonas inundables, rutas preferenciales de escurrimiento superficial y sectores susceptibles a procesos de anegamiento. El análisis del MDE permite establecer el umbral de inundación, definido como la cota altimétrica alcanzada por el agua durante eventos de crecida, utilizando los registros de nivel de río proporcionados por las estaciones hidrológicas.

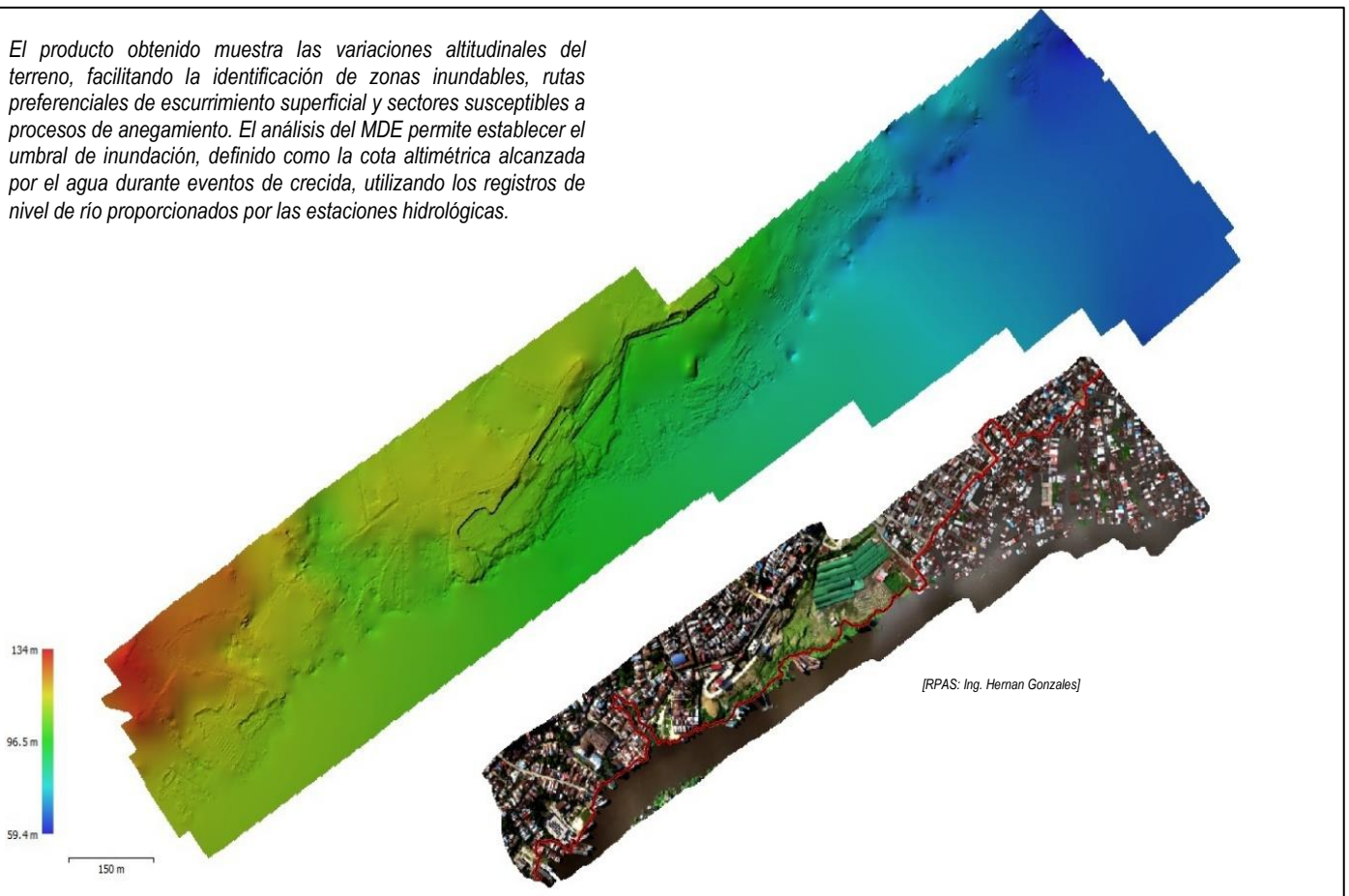


Imagen 1. Modelo Digital de Elevación y Ortomosaico generado.



Imagen 2: Se observa las líneas de umbrales de inundación, delimitada en la zona baja de Belén.

Durante este evento, el nivel del río superó el umbral rojo de alerta hidrológica (117.45 m.s.n.m.), alcanzando un valor máximo de 117.84 m.s.n.m. en el mes de mayo de 2025, el cual se mantuvo constante desde el 05 al 09 de mayo.



Fotos 15, 16 y 17: Foto aérea tomada el día 25 de mayo de 2025.

Se observa la **planta de captación de agua Sedaloreto** en situación de alto riesgo, rodeada por aguas del río Nanay que amenazan la continuidad del servicio de agua potable. La foto superior e inferior derecha muestra en la zona baja de Belén, infraestructuras importantes como la plaza, viviendas recientemente construidas han sido totalmente inundadas, evidenciando alta vulnerabilidad urbana.

PARTICIPACIÓN INSTITUCIONAL

En el mes de mayo 2025, el SENAMHI - Dirección Zonal 8, participó en diferentes reuniones, relacionados con la problemática ambiental y los aspectos hidrológicos de los ríos amazónicos, de acuerdo al siguiente detalle:

- Especialistas en hidrología del SENAMHI llevaron a cabo inspecciones técnicas y monitoreos hidrológicos en estaciones clave de la cuenca del río Ucayali, localizadas en los departamentos de Loreto y Ucayali. Estas acciones, desarrolladas en articulación con la Autoridad Nacional del Agua (ANA), fueron fundamentales para evaluar el comportamiento hidrológico de la cuenca y fortalecer la gestión integrada de los recursos hídricos.
- El SENAMHI participó activamente en el Primer Simulacro Multipeligro 2025, que contempló escenarios de sismo, inundación, incendio, entre otros. Articulando acciones con la Plataforma Regional de Gestión del Riesgo de Desastres y las municipalidades de Belén y San Juan Bautista. En paralelo, la Dirección Zonal 8 del SENAMHI llevó a cabo su propio simulacro interno, fortaleciendo la preparación y capacidad de respuesta de su personal ante situaciones de emergencia.
- El SENAMHI desarrolló el taller regional “Estrategias para reducir la brecha en los Sistemas de Alerta Temprana en Loreto”, en el marco del Plan Multisectorial ante Heladas y Friajes 2025. El evento contó con la participación de ponentes del SENAMHI, ANA, SEHINAV, COER Loreto, INDECI, UNICEF y el IIAP. Esta actividad tuvo como objetivo fortalecer las capacidades locales y promover la articulación interinstitucional, impulsando el conocimiento técnico en la comunidad académica presente.
- En el marco del mismo taller, se desarrolló una práctica de campo denominada 'Aplicación de tecnología ADCP en la medición de corrientes fluviales, río Itaya', utilizando el transporte fluvial BIC SENAMHI II. La actividad reunió a estudiantes y profesionales de diversas instituciones, quienes fortalecieron sus competencias técnicas en monitoreo hidrológico mediante el uso de tecnología acústica Doppler (ADCP). Esta experiencia práctica tuvo un alto impacto formativo, al vincular el conocimiento teórico con su aplicación en condiciones reales de campo, contribuyendo a la formación de capacidades locales especializadas en gestión del recurso hídrico.
- Especialistas del SENAMHI participaron como ponentes en el ciclo de conferencias organizado por el aniversario de la Universidad Científica del Perú, donde expusieron las principales actividades, investigaciones y proyectos que la institución viene desarrollando en el ámbito meteorológico, hidrológico, agrometeorológico y ambiental. Esta participación fortaleció el vínculo entre la ciencia y la academia, promoviendo la difusión del conocimiento técnico-científico entre la comunidad universitaria y fomentando el interés por la gestión del riesgo climático en la región.
- El área de imagen y difusión realizó las entrevistas semanales sobre las condiciones de tiempo, clima e hidrología, publicado en las principales redes sociales del SENAMHI DZ8 Loreto.
- El SENAMHI a diario emite los pronósticos del tiempo, proyecciones y tendencias, avisos meteorológicos e hidrológicos a las autoridades competentes, medios de comunicación y población en general.

MISCELÁNEAS

El Servicio Nacional de Meteorología e Hidrología del Perú - Dirección Zonal 8, difunde las actividades hidrometeorológicas mediante entrevistas informativas informando a las autoridades regionales sobre las implicancias del episodio de lluvias en la selva y las proyecciones hídricas de los ríos Amazonas, Ucayali, Huallaga y Marañón.



Especialistas en hidrología del SENAMHI llevaron a cabo inspecciones técnicas y monitoreos hidrológicos en estaciones clave de la cuenca del río Ucayali, localizadas en los departamentos de Loreto y Ucayali. Estas acciones, desarrolladas en articulación con la Autoridad Nacional del Agua (ANA), fueron fundamentales para evaluar el comportamiento hidrológico de la cuenca y fortalecer la gestión integrada de los recursos hídricos.

DIRECCIÓN ZONAL 8 - LORETO



El SENAMHI participó activamente en el Primer Simulacro Multipeligro 2025, que contempló escenarios de sismo, inundación, incendio, entre otros. Articulando acciones con la Plataforma Regional de Gestión del Riesgo de Desastres y las municipalidades de Belén y San Juan Bautista. En paralelo, la Dirección Zonal 8 del SENAMHI llevó a cabo su propio simulacro interno, fortaleciendo la preparación y capacidad de respuesta de su personal ante situaciones de emergencia.



El SENAMHI desarrolló el taller regional “Estrategias para reducir la brecha en los Sistemas de Alerta Temprana en Loreto”, en el marco del Plan Multisectorial ante Heladas y Friajes 2025. El evento contó con la participación de ponentes del SENAMHI, ANA, SEHINAV, COER Loreto, INDECI, UNICEF y el IIAP. Esta actividad tuvo como objetivo fortalecer las capacidades locales y promover la articulación interinstitucional, impulsando el conocimiento técnico en la comunidad académica presente.



En el marco del mismo taller, se desarrolló una práctica de campo denominada 'Aplicación de tecnología ADCP en la medición de corrientes fluviales, río Itaya', utilizando el transporte fluvial BIC SENAMHI II. La actividad reunió a estudiantes y profesionales de diversas instituciones, quienes fortalecieron sus competencias técnicas en monitoreo hidrológico mediante el uso de tecnología acústica Doppler (ADCP). Esta experiencia práctica tuvo un alto impacto formativo, al vincular el conocimiento teórico con su aplicación en condiciones reales de campo, contribuyendo a la formación de capacidades locales especializadas en gestión del recurso hídrico.

DIRECCIÓN ZONAL 8 - LORETO



Especialistas del SENAMHI participaron como ponentes en el ciclo de conferencias organizado por el aniversario de la Universidad Científica del Perú, donde expusieron las principales actividades, investigaciones y proyectos que la institución viene desarrollando en el ámbito meteorológico, hidrológico, agrometeorológico y ambiental. Esta participación fortaleció el vínculo entre la ciencia y la academia, promoviendo la difusión del conocimiento técnico-científico entre la comunidad universitaria y fomentando el interés por la gestión del riesgo climático en la región.



Si usted está interesado en datos estadísticos, estudios o proyectos en el ámbito de la Meteorología, Hidrología y Recursos Hídricos, Agrometeorología y Ambiental, no dude en acercarse a nuestra Institución:

DIRECTOR ZONAL 8- LORETO
ING. MARCO A. PAREDES RIVEROS

Av. Cornejo Portugal N° 1842 – Iquitos- Maynas
E-mail: mparedes@senamhi.gob.pe

SEDE CENTRAL
SERVICIO NACIONAL DE METEOROLOGIA E HIDROLOGIA
Jr. Cahuide N° 785 – Jesús María – Lima
Internet: <http://www.gob.pe/senamhi>
Central Telefónica
(511) 614-1414
Atención al Cliente
(511) 470-2867

